

2018

Weekly / Semanal **Influenza Report EW 39/ Reporte de Influenza SE 39**

Regional Update: Influenza & Other Respiratory Viruses /
Actualización Regional: Influenza y Otros virus respiratorios



**October 10, 2018
10 de Octubre de 2018**

*Data as of October 5, 2018/
Datos hasta 5 de octubre de 2018*

*Prepared by PHE/IHM/Influenza Team/
Realizado por PHE/IHM/Equipo de Influenza*

Countries reporting to FluID
Países que reportan a FluID



FluNet

Countries Reporting to FluNet
Países que reportan a FluNet



Map Production /Producción del mapa: PA

Data Source / Fuente de datos:

Ministries of Health and National Influenza Reports to the informatics global platforms [FluNet](#) and / Informe de los Ministerios de Salud y los Centros Nacionales de Influenza de los Estados Miembros a las plataformas informáticas globales de [FluNet](#) y [FluID](#)

[Go to Index/](#)
[Ir al Índice](#)

WEEKLY REPORT DATA SOURCES

The information presented in this update is based on data provided by Ministries of Health and National Influenza Centers of Member States to the informatics global platforms
http://www.who.int/influenza/gisrs_laboratory/flunet/en/
and http://www.who.int/influenza/surveillance_monitoring/fluid/en/ ;
and reports/weekly bulletins that Ministries of Health published on its website or shared with PAHO/WHO.

La información presentada en esta actualización se obtiene a partir de los datos notificados por los Ministerios de Salud y los Centros Nacionales de Influenza de los Estados Miembros a las plataformas informáticas globales de la OPS/OMS: [FluNet](#) y [Fluid](#); y de los informes/boletines semanales que los Ministerios de Salud publican en sus páginas web o comparten con OPS/OMS.

PAHO INFLUENZA LINKS

PAHO interactive data / Datos interactivos de la OPS:

PAHO FluNet: http://ais.paho.org/php/viz/ed_flu.asp

PAHO Fluid: <http://ais.paho.org/php/viz/flumart2015.as>

Influenza Regional Reports / Informes regionales de influenza:

In English: <http://www.paho.org/influenzareport>

En español: www.paho.org/reportesinfluenza

Severe acute respiratory infections network - SARinet
Red de las infecciones respiratorias agudas graves - SARinet:

<http://www.sarinet.org>

[Go to Index/](#)
[Ir al Índice](#)

REPORT INDEX

ÍNDICE DE LA ACTUALIZACIÓN

Section	Content	Page
1	<u>Weekly Summary / Resumen Semanal</u>	5
2	<u>Overall Influenza and RSV circulation / Circulación general de los virus influenza y VSR</u>	6
3	<u>Weekly and Cumulative numbers / Números semanales y acumulados</u>	7
4	<u>Epidemiological and Virologic update by country / Actualización epidemiológica y virológica por país</u>	8
5	<u>Acronyms / Acrónimos</u>	31

WEEKLY SUMMARY (ENGLISH)

North America: Overall, influenza activity was at low levels in [Canada](#) and the [United States](#), with influenza B predominating. In [México](#), decreased influenza and SARI activity was reported with influenza A(H1N1)pdm09 and B co-circulating.

Caribbean: Influenza virus activity increased, and low RSV activity was reported throughout most of the sub-region. In [Cuba](#), [Haiti](#) and [Dominican Republic](#), influenza A(H1N1)pdm09 circulation was associated with low SARI activity.

Central America: Epidemiological indicators remained at moderate levels and influenza circulation was reported to increase throughout the sub-region. In [Panama](#) and [Guatemala](#) RSV circulation continued elevated, while influenza detections were low. In [El Salvador](#) and [Nicaragua](#), increased influenza A(H1N1)pdm09 and B circulation was reported.

Andean Region: Overall influenza and other respiratory virus activity remained stable in the sub-region. SARI and influenza activity decreased in [Bolivia](#). In [Perú](#), influenza A(H1N1)pdm09 and SARI activity began to decrease with increased RSV detections. In [Venezuela](#), influenza circulated with A(H1N1)pdm09 predominance.

Brazil and Southern Cone: Influenza activity decreased at the seasonal levels throughout most of the sub-region and peaked later in [Paraguay](#), [Argentina](#) and [Uruguay](#). In [Brazil](#), influenza-associated SARI cases decreased, with influenza A(H1N1)pdm09 predominating. In [Paraguay](#), [Chile](#) and [Uruguay](#), SARI activity remained elevated related to influenza A(H3N2) and B levels.

Global: In the temperate zones of the southern hemisphere, influenza activity appeared to decrease in South America and Southern Africa. Influenza activity remained at low seasonal levels in Australia and New Zealand and at inter-seasonal levels in most of temperate zone of the northern hemisphere. Increased influenza detections were reported in some countries of Southern and South-East Asia. Worldwide, seasonal influenza subtype A viruses accounted for the majority of detections.

RESUMEN SEMANAL (ESPAÑOL)

América del Norte: En general, la actividad de influenza se encontró a niveles bajos en [Canadá](#) y los [Estados Unidos](#), con predominio de influenza B. En [México](#), se reportó actividad de influenza e IRAG en descenso con co-circulación de influenza A(H1N1)pdm09 y B.

Caribe: La actividad de influenza aumentó ligeramente y se reportó una actividad disminuida de VSR en la mayoría de la subregión. En [Cuba](#), [Haití](#), and [Dominican Republic](#) la circulación de influenza A(H1N1)pdm09 se asoció con baja actividad de IRAG.

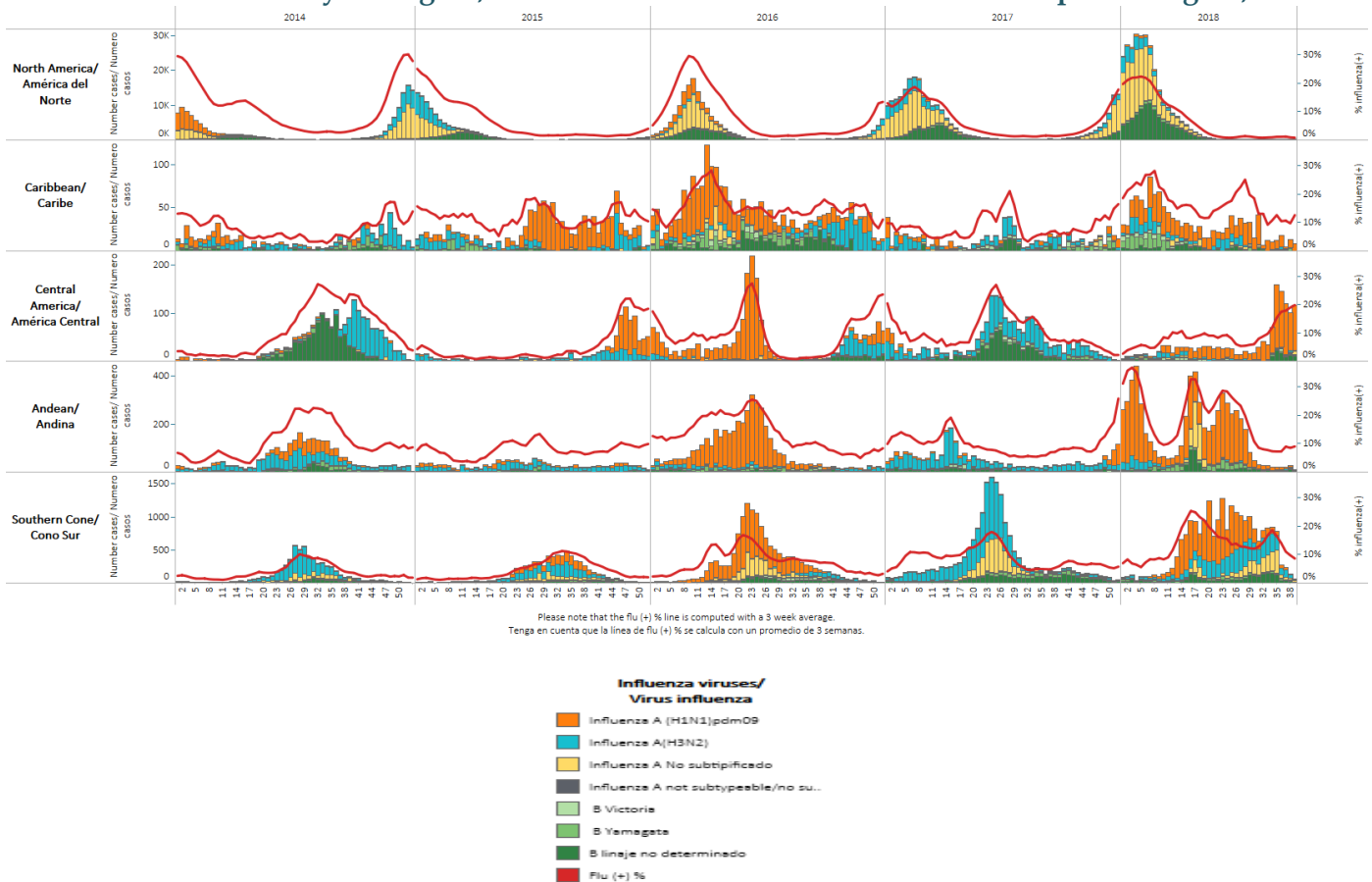
América Central: Los indicadores epidemiológicos permanecieron en niveles moderados y se reportó un aumento de la circulación de influenza en la sub-región. En [Panamá](#) y [Guatemala](#) la circulación de VSR continuó elevada, en tanto las detecciones de influenza permanecieron bajas. En [El Salvador](#) y [Nicaragua](#), se reportó circulación aumentada de influenza A(H1N1)pdm09 y B.

Sub-región Andina: La actividad general de influenza y otros virus respiratorios permaneció estable en la sub-región. La actividad de IRAG e influenza disminuyó en [Bolivia](#). En [Perú](#), la actividad de influenza A(H1N1)pdm09 e IRAG comenzó a disminuir con mayores detecciones de VSR. En [Venezuela](#), circuló influenza con predominio de influenza A(H1N1)pdm09.

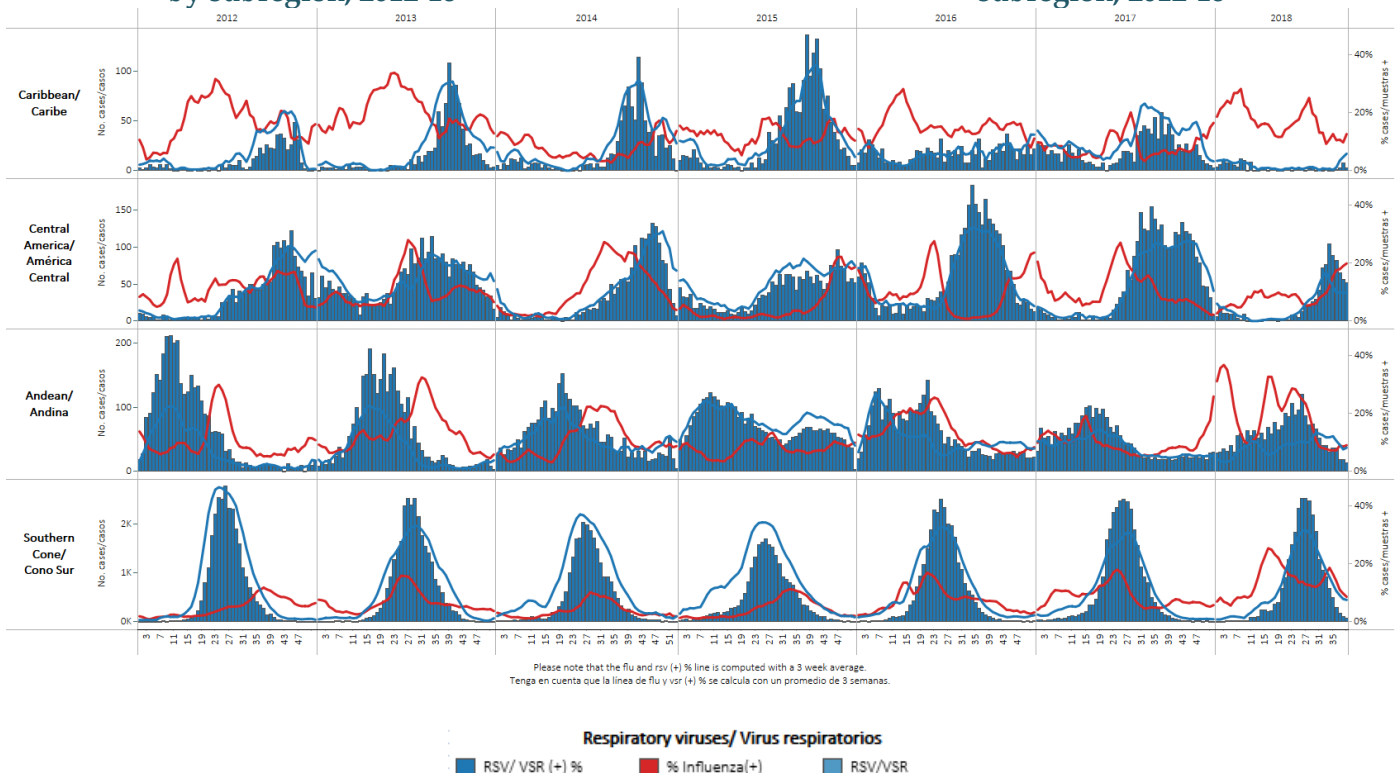
Brasil y Cono Sur: Los niveles de influenza disminuyeron ligeramente a niveles estacionales en toda la sub-región y alcanzó su pico tardío en [Paraguay](#), [Argentina](#) y [Uruguay](#). En [Brasil](#), los casos de IRAG asociados a influenza disminuyeron, con predominio de influenza A(H1N1)pdm09. En [Paraguay](#), [Chile](#), y [Uruguay](#), la actividad de IRAG permaneció elevada en relación a los niveles de influenza A(H3N2) y B.

Global: En las zonas templadas del hemisferio sur, la actividad de influenza pareció disminuir en Sudamérica y el sur de África. La actividad de la influenza se mantuvo en niveles estacionales bajos en Australia y Nueva Zelanda y en niveles interestacionales en la mayoría de las zonas templadas del hemisferio norte. Se informaron más detecciones de influenza en algunos países del sur y sudeste de Asia. En todo el mundo, los virus del subtipo A de influenza estacional representaron la mayoría de las detecciones.

Influenza circulation by subregion, 2014-18



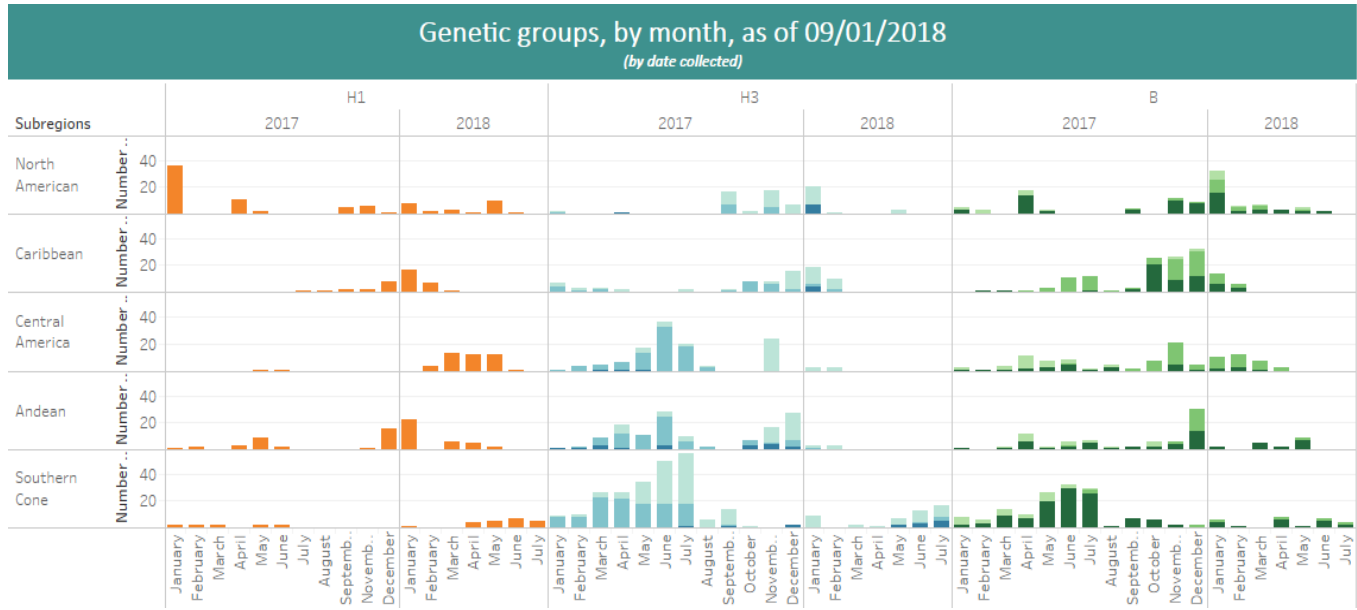
Respiratory syncytial virus (RSV) circulation by subregion, 2012-18



*To view more lab data, view [here](#). / Para ver mas datos lab, vea [aquí](#).

Genetic Characterization of Influenza Virus by Subregion, 2017-18

Caracterización Genética de los Virus Influenza por Subregión, 2017-18



These data are from the WHO –Collaborating Center at the U.S. CDC.
Estos datos son recolectados desde el CC de la OMS en el CDC de EE. UU.



Weekly and cumulative numbers of influenza and other respiratory virus, by country and EW, 2018¹ Números semanales y acumulados de influenza y otros virus respiratorios, por país y SE, 2018²

EW 39, 2018 / SE 39, 2018

		N samples/muestras	Influenza A(H3N2)	Influenza A(H1N1)pdm09	Influenza A non-subtyped*	Influenza A not subtyped/no subtipificado	B Victoria	B Yamagata	B linaje no determinado	Influenza (+) %	Adenovirus	Parainfluenza	RSV/VR	% RSV/VR (+)	Bocavirus	Coronavirus	Metapneumovirus	Rhinovirus	% All Positive Samples (+)	
North America/ América del Norte	Canada	14,152	5	1	11					3	0.1%	38	39	12	0%		9	6	443	4.0%
	Mexico	166	0	14	0	1	1	2	3	3	12.7%	0	2	0	0%	0	0	1	14.5%	
	USA	10,795	3	4	59	0	0	3	22	0.8%									0.8%	
Caribbean/ Caribe	Belize	9	0	0	0	0	0	0	0	0	0.0%	0	0	0	0%	0	0	0	0.0%	
	Cuba	21	0	6	0	0	0	0	0	28.6%	0	0	1	5%	0	0	0	0	42.9%	
	Cuba IRAG	9	0	1	0	0	0	0	0	11.1%	0	0	1	11%	0	0	0	0	44.4%	
	Dominican Republic	5		2	0					40.0%			1	20%					60.0%	
	Jamaica	21	0	0	0	0	0	0	0	0.0%	0	0	0	0	0%				0.0%	
	Suriname	1	0	0	0	0	0	0	0	0.0%	0	0	0	0	0%	0	0	0	0.0%	
Central America/ América Central	Costa Rica	40	0	0	5	0				12.5%	6	0	2	5%					32.5%	
	El Salvador*	42	0	5	1	0	1	2	0	21.4%	0	0	0	0	0%				21.4%	
	Guatemala	19			0					0.0%			15	79%					78.9%	
	Nicaragua	433	87	1					10	22.6%	3	31	7						30.5%	
Andean/ Andina	Panama	16	3	2	0	0	0	0	0	31.3%	0	0	4	25%			0	3	75.0%	
	Bolivia	47	0	0	4	0	0	0	0	8.5%	0	1	6	13%	0	0	0	0	23.4%	
	Colombia	108	0	4	0					6.5%	2	3	8	7%	1	2	1	4	25.9%	
Brazil & Southern Cone/ Brasil y Cono Sur	Ecuador	2	0	0	0	0	0	0	0	0.0%	0	0	0	0	0%	0	0	0	0.0%	
	Chile	991	12	2	21			3	10	4.8%	44	31	65	7%				96	28.7%	
	Chile_IRAG	50	2	0	0	0	0	0	1	6.0%	1	0	5	10%	0	0	2	0	22.0%	
	Paraguay	95	7	2	0	0	0	0	2	11.6%	0	0	5	5%	0	0	0	0	16.8%	
	Uruguay	12	1	0	0	0	0	1	0	16.7%	0	0	1	8%	0	0	1	0	33.3%	
	Uruguay IRAG	8	1	0				1		25.0%			1	13%					50.0%	
Grand Total		27,042	34	130	102	1	2	12	54	1.2%	91	79	158	1%	1	11	107	455	4.6%	

These are the raw numbers provided in the country's FluNet update (Not the smoothed averages)
Estos son los números crudos proporcionados en la actualización FluNet del país (no los promedios suavizados)

*Please note blank cells indicate N/A.

*Por favor notar que las celdas en blanco indican N/A.

* NIC laboratory data only / datos de laboratorio solo del NIC

EW 38, 2018 / SE 38, 2018

*Note: These countries reported in EW 39, 2018, but have provided data up to EW 38.

*Nota: Estos países reportaron en la SE 39, 2018, pero han enviado los datos hasta la SE 38.

		N samples/muestras	Influenza A(H3N2)	Influenza A(H1N1)pdm09	Influenza A No subtipificado	Total Influenza B	Influenza B (%)	Adenovirus	RSV/VR	% RSV/VR (+)	Bocavirus*	Coronavirus..	Bocavirus*	Rinovirus*	Parainfluenza..	% All Positive Samples (+)
Caribbean/ Caribe	Aruba	2		1		0	50.0%		1	50%	0	0	0	0	0	100.0%
	Trinidad and Tobago	1				0	0.0%	1			0	0	0	0	0	100.0%
Andean/ Andina	Venezuela	3	2	0	0	0	66.7%	0	0	0%	0	0	0	0	0	66.7%
Brazil & Southern Cone/ Brasil y Cono Sur	Brazil	20				3	15.0%		2	10%	0	0	0	0	0	25.0%
	Paraguay IRAG	81	8	3	0	2	16.0%	0	6	7%	0	0	0	0	0	23.5%
Grand Total		107	10	4	0	5	17.8%	1	9	8%	0	0	0	0	0	27.1%

EW 36-39, 2018 / SE 36-39, 2018

		N samples/muestras	Influenza (H3N2)*	Influenza A(H1N1)pdm09*	Influenza A non-subtyped*	Influenza B Victoria*	Influenza B Yamagata*	Influenza B linaje no determinado*	Influenza (+) %	Adenovirus*	Parainfluenza*	RSV/VR*	% RSV/VR (+)	Bocavirus*	Coronavirus*	Metapneumovirus*	Rhinovirus*	% All Positive Samples (+)
North America/ América del Norte	Canada	49,217	17	10	24	0	0	7	0.1%	128	169	49	0.1%	0	16	16	1,395	3.7%
	Mexico	1,121	0	98	0	6	17	14	12.5%	5	7	1	0.1%	0	0	3	7	14.5%
	USA	44,486	43	64	474	0	9	189	1.8%	0	0	0		0	0	0	0	1.8%
Caribbean/ Caribe	Aruba	3	0	2	0	0	0	0	66.7%	0	0	1	33.3%	0	0	0	0	100.0%
	Belize	23	0	0	1	0	0	0	4.3%	0	0	0	0.0%	0	0	0	0	4.3%
	Cuba	59	0	11	0	0	4	0	25.4%	0	0	1	1.7%	1	0	0	3	33.9%
	Cuba IRAG	26	0	3	0	0	0	0	11.5%	0	0	1	3.8%	1	0	0	2	26.9%
	Dominican Republic	111	0	2	0	0	0	0	1.8%	0	0	8	7.2%	0	0	0	0	9.0%
	Haiti	35	0	13	0	0	0	0	37.1%	0	0	0	0.0%	0	0	0	0	37.1%
Central America/ América Central	Jamaica	53	0	0	0	0	0	0	0.0%	0	0	0	0.0%	0	0	0	0	0.0%
	Suriname	22	2	0	0	0	0	0	13.6%	0	0	3	13.6%	0	0	0	0	27.3%
	Trinidad and Tobago	38	1	0	0	0	0	1	5.3%	4	2	0		0	0	0	2	50.0%
Brazil & Southern Cone/ Brasil y Cono Sur	Costa Rica	169	0	10	5	0	0	0	8.9%	18	5	5	3.0%	0	0	0	0	25.4%
	El Salvador	145	0	16	1	4	2	4	18.6%	0	0	0	0.0%	0	0	0	0	18.6%
	El Salvador*	163	0	26	2	8	5	0	25.2%	0	0	0	0.0%	0	0	0	0	25.2%
	Guatemala	141	0	1	0	0	0	0	0.7%	0	0	81	57.4%	0	0	4	0	61.0%
	Honduras	71	0	1	0	0	0	0	1.4%	0	1	1	1.4%	0	0	0	0	4.2%
	Nicaragua	1,668	0	339	1	0	0	47	23.2%	0	16	54	3.2%	0	0	1	0	27.5%
	Panama	250	10	2	0	0	0	0	4.8%	5	5	114	45.6%	0	0	8	48	76.8%
Andean/ Andina	Bolivia	229	7	4	9	0	1	0	9.2%	0	1	28	12.2%	0	0	0	0	21.8%
	Colombia	505	0	27	0	0	13	7	7.9%	13	14	59	11.7%	7	14	5	17	34.5%
	Ecuador	93	0	0	0	0	5	5	5.4%	0	0	0	0.0%	0	0	0	0	5.4%
	Venezuela	11	4	2	0	0	0	0	54.5%	0	0	0	0.0%	0	0	0	0	54.5%
	Argentina	875	0	2	4	0	0	2	0.9%	12	32	84	9.6%	0	0	35	0	19.5%
Brazil & Southern Cone/ Brasil y Cono Sur	Brazil	189	2	2	0	0	7	5	5.8%	0	1	5	2.6%	0	0	2	2	11.1%
	Chile	4,407	120	23	112	4	54	41	8.0%	174	120	403	9.1%	0	0	326	0	31.2%
	Chile_IRAG	348	14	2	3	0	1	5	7.2%	8	9	23	6.6%	1	0	43	5	32.8%
	Paraguay	702	86	15	0	0	0	41	20.2%	23	9	66	9.4%	0	0	18	0	36.8%
	Paraguay IRAG	425	55	9	1	0	0	20	20.0%	19	7	52	12.2%	0	0	14	0	41.6%
	Uruguay	125	10	19	0	0	8	0	29.6%	1	1	6	4.8%	0	0	2	0	37.6%
	Uruguay IRAG	88	7	11	0	0	1	0	21.6%	1	1	4	4.5%	0	0	1	0	29.5%
	Grand Total	105,798	378	714	637	22	102	396	2.1%	411	400	1,049	1.0%	10	30	480	1,488	5.8%

Total Influenza B, EW 32-39, 2018

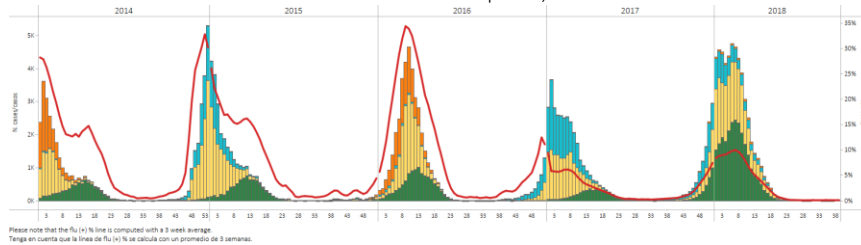
		Total Influenza B	B Victoria	B Yamagata	B linaje no determinado	% B Victoria	% B Yamagata
North America/ América del Norte		381	10	53	318	15%	84%
Caribbean/ Caribe		13	0	7	6	0%	100%
Central America/ América Central		114	18	12			

North America / América del Norte

Canada / Canadá

- In EW 38, ILI activity at the national level was below the 5-year average for the same period (Graph 2). Localized ILI activity was reported in one region in Ontario, and most of the provinces and territories reported no ILI activity (Graph 3). During EW 39, influenza detections continued to trend downward (Graph 1); and influenza B viruses predominated among the influenza detections. RSV positivity steadily decreased in recent weeks. / En la SE 38, la actividad de ETI a nivel nacional se ubicó debajo del promedio de 5 años para el mismo período (Gráfico 2). Se reportó actividad localizada de ETI en una región en Ontario, y la mayoría de los territorios y provincias no reportaron actividad de ETI (Gráfico 3). Durante la SE 39, las detecciones de influenza continuaron en descenso (Gráfico 1); y los virus influenza B predominaron entre las detecciones de influenza. La positividad de VSR disminuyó en forma sostenida en semanas recientes.

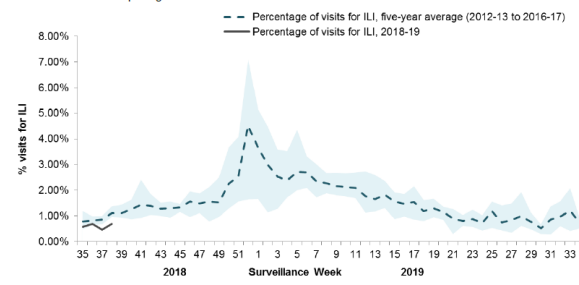
Graph 1. Canada: Influenza virus distribution by EW, 2014-18, EW 39. /
Distribución de virus de influenza por SE, 2014-18. SE 39.



Graph 2. Canada: Percentage of ILI visits by sentinel sites, EW 37 to EW 38, 2018 (in comparison to 2012-2017 seasons)

Porcentaje de casos de ETI por sitio centinela , SE 37 a SE 38, 2018 (en comparación con temporadas 2012-2017)

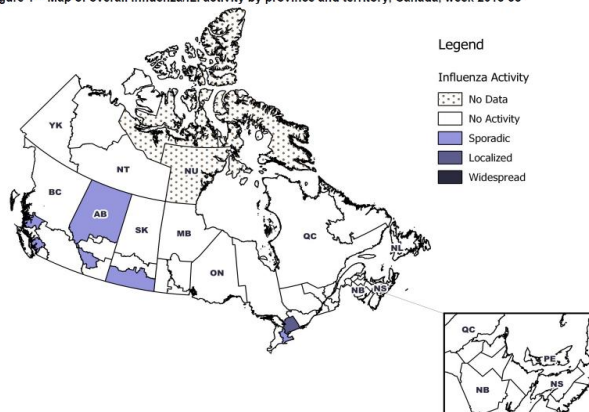
Figure 4 – Percentage of visits for ILI reported by sentinels by report week, Canada, weeks 2018-35 to 2018-38
Number of Sentinels Reporting in Week 38: 71



Graph 3. Canada: Influenza activity by provincial and territorial influenza surveillance regions, 2017-2018, EW 37 to EW 38, 2018.

Actividad de influenza por regiones de vigilancia de influenza provinciales y territoriales, 2017-2018, SE 37 a 38, 2018.

Figure 1 – Map of overall influenza/ILI activity by province and territory, Canada, week 2018-38



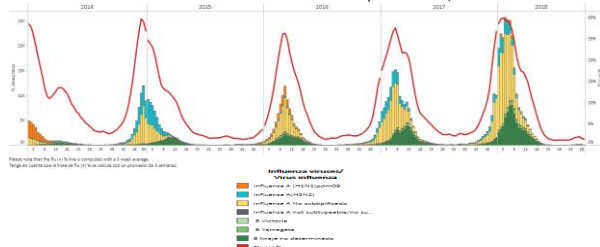
*To view more epi data, view [here](#). / Para ver mas datos epi, vea [aquí](#).

United States / Estados Unidos

- In EW 39, ILI activity at the national level slightly increased below the seasonal threshold (Graph 4). Influenza detections continued at low levels while RSV slightly decreased (Graph 1,2); and influenza A (non-subtyped) viruses predominated among the influenza detections. The proportion of pneumonia and influenza deaths among all deaths was below the epidemic threshold (Graph 3). No influenza-associated pediatric deaths were reported during EW 38. / En la SE 39, la actividad de ETI a nivel nacional aumentó ligeramente por debajo del umbral estacional (Gráfico 4). Las detecciones de influenza continuaron a niveles bajos mientras que las de RSV disminuyeron (Gráfico 1, 2); y los virus influenza A (No subtipificado) predominaron entre las detecciones de influenza. La proporción de fallecidos por neumonía e influenza del total de fallecidos se ubicó bajo el umbral epidémico (Gráfico 3). No se reportaron muertes pediátricas asociadas a influenza durante la SE 39.

Graph 1. US: Influenza virus distribution by EW 39, 2014-18

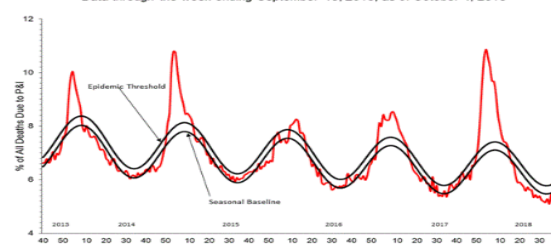
Distribución de virus de influenza por SE 39, 2014-18



Graph 3. US: Pneumonia and influenza mortality. EW 36, 2018

Mortalidad por neumonía e influenza. SE 36, 2018

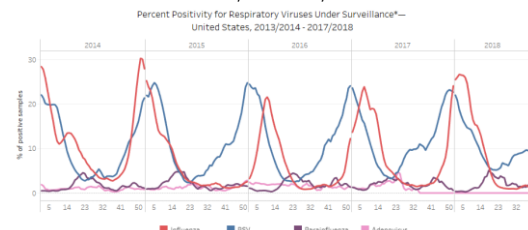
Pneumonia and Influenza Mortality from the National Center for Health Statistics Mortality Surveillance System Data through the week ending September 15, 2018, as of October 4, 2018



Graph 2. US: Percent positivity for respiratory virus EW 39

Porcentaje de positividad para virus respiratorios, por SE 39,

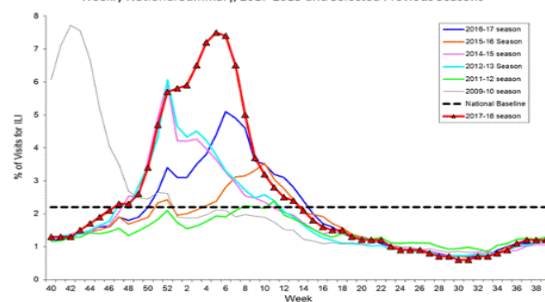
2013/14- 2017/18



Graph 4. US: Percentage of visits for ILI, 2017-2018. EW 39,

Porcentaje de visitas por ETI, 2017-2018. SE 39.

Percentage of Visits for Influenza-like Illness (ILI) Reported by the U.S. Outpatient Influenza-like Illness Surveillance Network (ILINet), Weekly National Summary, 2017-2018 and Selected Previous Seasons

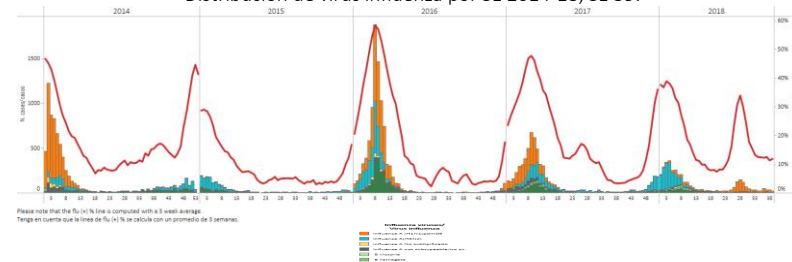


Mexico

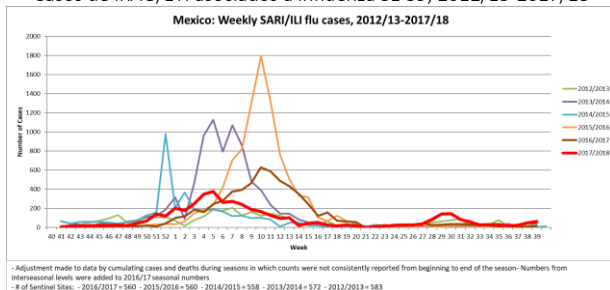
- During EW 39, influenza activity slightly decreased above the alert threshold, with influenza A(H1N1)pdm09 and Yamagata lineage of influenza B predominating; and there were no RSV detections (Graph 1). Up to EW 39 and in previous weeks, influenza-associated SARI/ILI counts were higher as compared to the levels observed during most other seasons (Graph 2) and the influenza-associated SARI/ILI deaths were at lower levels from previous seasons for the same period (Graph 3). In EW 39, 6 states reported higher influenza-associated SARI/ILI counts than the historic average: Chiapas, Durango, Quintana Roo, Sinaloa, Veracruz and Yucatan (Graph 4). In EW 39, 7 states reported higher influenza-associated SARI/ILI deaths counts than the historic average: Baja California, Campeche, Chiapas, Quintana Roo, Sinaloa, Veracruz and Yucatan (Graph 5). During EW 39, 894 cumulative influenza SARI/ILI cases and 75 cumulative influenza SARI/ILI deaths were reported, with the highest activity in Yucatán and Quintana Roo (Graphs 6, 7). In EW 40 of the 2018/2019 season, no influenza-associated SARI cases nor deaths were reported. / Durante la SE 39, la actividad de influenza disminuyó ligeramente sobre el umbral de alerta, con predominio de influenza A(H1N1)pdm09 y el linaje Yamagata de influenza B; y no se reportaron detecciones de VSR (Gráfico 1). En semanas recientes, los recuentos de IRAG/ETI asociados a influenza aumentaron en relación a los niveles observados durante la mayoría de las restantes temporadas (Gráfico 2) y los casos fallecidos de IRAG/ETI asociados a influenza se ubicaron por debajo de los niveles de las previas temporadas para el mismo período (Gráfico 3). En la SE 39, 6 estados reportaron mayores recuentos de IRAG/ETI asociados a influenza en comparación con el promedio histórico: Chiapas, Durango, Quintana Roo, Sinaloa, Veracruz y Yucatan (Gráfico 4). En la SE 39, 7 estados reportaron mayor recuento de fallecidos por IRAG/ETI asociados a influenza en comparación con el promedio histórico: Baja California, Campeche, Chiapas, Quintana Roo, Sinaloa, Veracruz y Yucatan (Gráfico 5). Durante la SE 39, fueron reportados un total acumulado de 894 casos de IRAG/ETI asociados a influenza y 75 muertes por IRAG/ETI asociadas a influenza, con la mayor actividad en Yucatán y Quintana Roo. En la SE 40 de la temporada 2018/2019, no se han reportado casos o fallecidos por IRAG asociados a influenza.

Graph 1. Mexico: Influenza virus distribution by EW 2014-18, EW 39.

Distribución de virus influenza por SE 2014-18, SE 39.



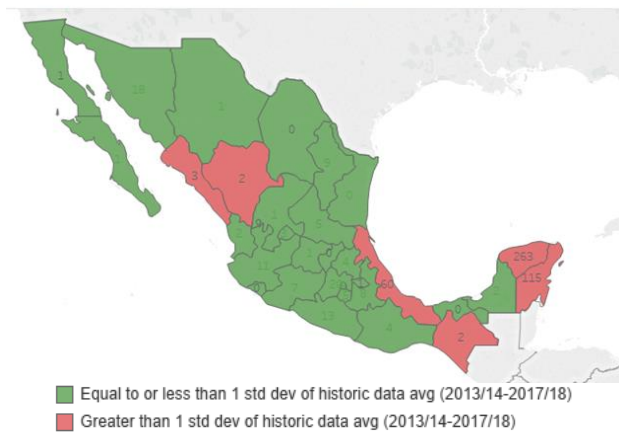
Graph 2. Mexico: Influenza-associated SARI/ILI cases EW 39, 2012/13-2017/18
Casos de IRAG/ETI asociados a influenza SE 39, 2012/13-2017/18



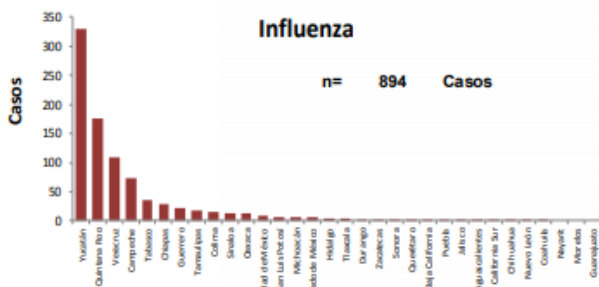
Graph 4. Mexico: Cumulative influenza-associated SARI/ILI cases greater than historic average, EW 21-39 (2013/14- 2017/18)

Casos acumulados de IRAG/ETI asociados a influenza superior al promedio histórico, SE 21-39 (2013/14- 2017/18)

Mexico SARI Flu Cases, as of EW 21-39, 2018
Count of cases greater than 1 SD above historic average
(2013/14-2017/18)



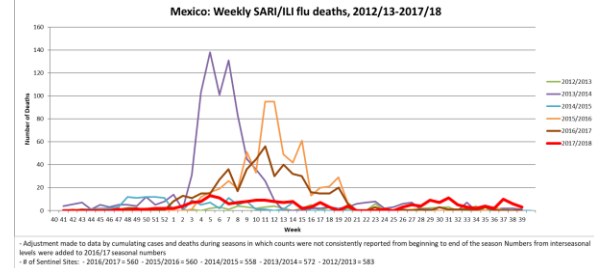
Graph 6. Mexico: SARI/ILI-influenza cases EW 39, 2012/13-2017/18
Casos de IRAG/ETI asociados a influenza SE 39, 2012/13-2017/18



*To view more epi data, view [here](#). / Para ver mas datos epi, vea [aquí](#).

Graph 3. Mexico: Influenza-associated SARI/ILI deaths EW 39, 2012/13-2017/18

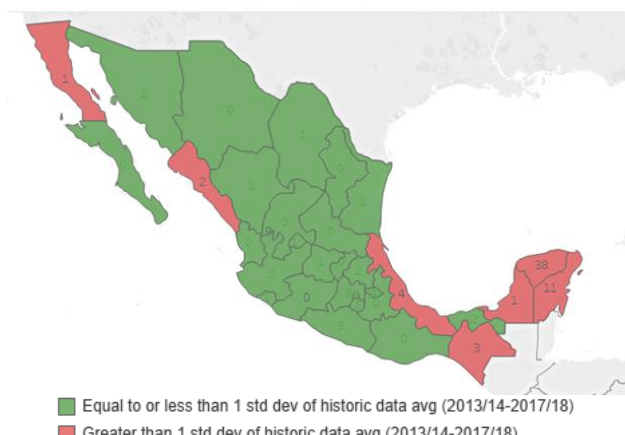
Casos fallecidos por IRAG/ETI asociados a Influenza SE 39, 2012/13-2017/18



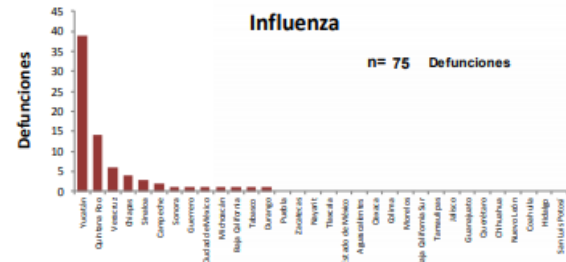
Graph 5. Mexico: Cumulative influenza-associated SARI/ILI deaths greater than historic average, EW 21-39 (2013/14- 2017/18)

Fallecidos acumulados de IRAG/ETI asociados a influenza superior al promedio historico, SE 21- 39 (2013/14- 2017/18)

Mexico SARI Flu Deaths, as of EW 21-39, 2018
Count of cases greater than 1 SD above historic average
(2013/14-2017/18)



Graph 7. Mexico: SARI/ILI-flu deaths EW 39, 2012/13- 2017/18
Casos fallecidos por IRAG/ETI asociados a Influenza SE 39, 2012/13-
2017/18

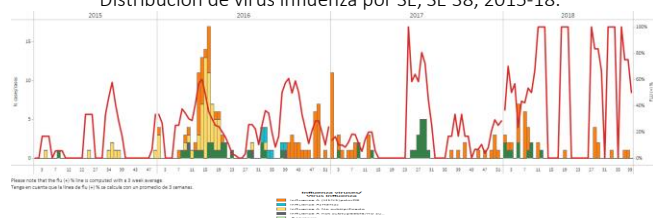


Aruba

- During EW 38, low influenza detections were reported and influenza A(H1N1)pdm09 activity decreased (Graph 1) with low SARI activity in recent weeks (Graph 3). The proportion of influenza positive samples decreased, and no RSV detections were reported (Graph 2). / Durante la SE 38, se reportaron bajas detecciones de influenza y la actividad de influenza A(H1N1)pdm09 disminuyó (Gráfico 1) con baja actividad de IRAG en semanas recientes (Gráfico 3). La proporción de muestras positivas para influenza disminuyó, y no se reportaron detecciones de VRS (Gráfico 2).

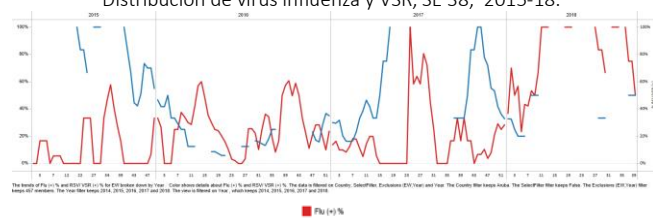
Graph 1. Aruba. Influenza virus distribution EW, EW 38, 2015-18.

Distribución de virus influenza por SE, SE 38, 2015-18.



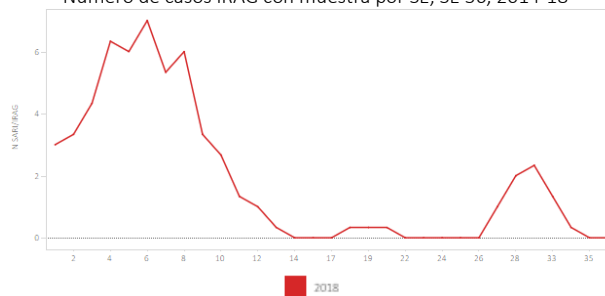
Graph 2. Aruba. Influenza and RSV distribution, EW 38, 2015-18

Distribución de virus influenza y VSR, SE 38, 2015-18.



Graph 3. Aruba: Number of SARI cases with samples by EW, EW 36, 2014-18

Número de casos IRAG con muestra por SE, SE 36, 2014-18

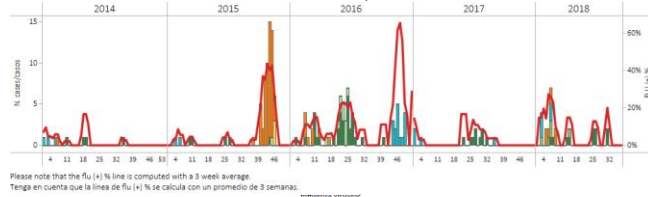


Barbados

- During EW 33, no influenza detection were reported and influenza B circulated in previous weeks (Graph 1, 2). During 2018, no RSV detections were reported (Graph 2). As of EW 39, the decreased SARI activity was below the levels observed in the 2015-2017 seasons for the same period (Graph 3). / Durante la SE 33, no se reportaron detecciones de influenza e influenza B circuló en semanas previas (Gráfico 1, 2). Durante 2018, no se reportaron detecciones de VSR (Gráfico 2). Hasta la SE 39, la actividad disminuida de IRAG se ubicó por debajo de los niveles observados en las temporadas 2015-2017 para el mismo período (Gráfico 3).

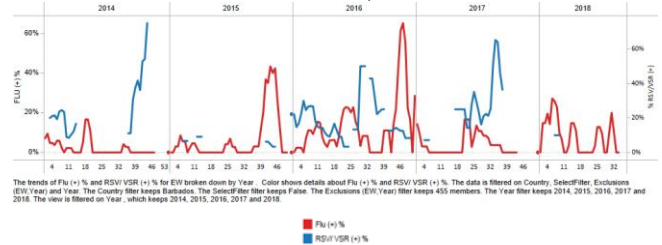
Graph 1. Barbados. Influenza virus distribution EW, EW 33, 2015-18.

Distribución de virus influenza por SE, SE 33 2015-18.



Graph 2. Barbados. Influenza and RSV distribution, EW 33, 2015-18

Distribución de virus influenza y VSR, SE 33, 2015-18.



Graph 3. Barbados: Number of SARI cases with samples by EW, EW 39, 2014-18

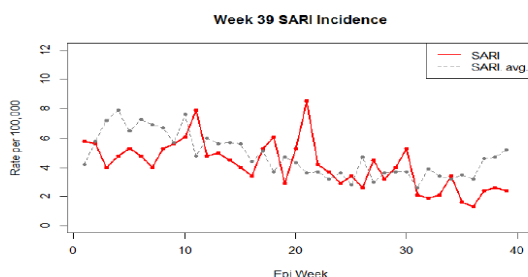
Número de casos IRAG con muestra por SE, SE 39, 2014-18



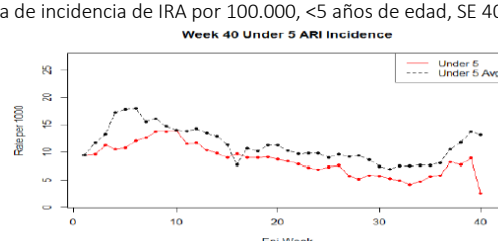
Belize/ Belice

- During EW 39, slightly decreased SARI activity was reported (Graph 1), as compared to the previous five seasons average. In EW 40, the ARI incidence rate among <5 years of age children was lower than the previous seasons for the same period (Graph 2). In recent weeks, influenza A(H1N1)pdm09 circulated, with overall few samples (Graph 3). / Durante la SE 39, se reportó ligero descenso en la actividad de IRAG (Gráfico 1), en comparación con el promedio de las cinco temporadas previas. En la SE 40, la incidencia de IRA entre los niños <5 años fue menor que en las temporadas previas para el mismo período (Gráfico 2). En semanas previas, circuló influenza A(H1N1)pdm09, con escasas muestras en general (Gráfico 3).

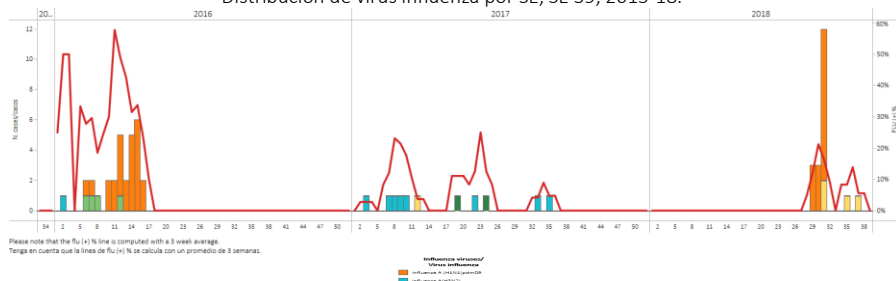
Graph 1. Belize: SARI incidence rate per 100,000, EW 39, 2018
Tasa de incidencia de IRAG por 100.000, SE 39, 2018



Graph 2. Belize: ARI incidence rate per 100,000, <5 years old, EW 40, 2018
Tasa de incidencia de IRA por 100.000, <5 años de edad, SE 40, 2018



Graph 3. Belize. Influenza virus distribution EW, EW 39, 2015-18.
Distribución de virus influenza por SE, SE 39, 2015-18.

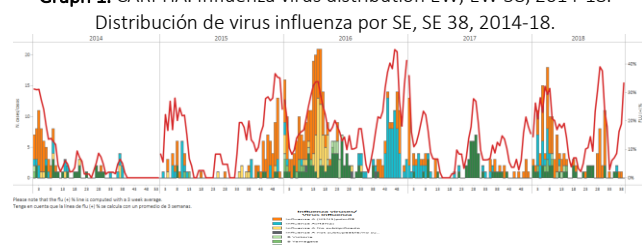


CARPHA (Barbados & Trinidad & Tobago)

- During EW 39, increased influenza detections were reported with influenza A(H1N1)pdm09 and B co-circulating in recent weeks (Graph 1). The proportion of influenza positive samples increased, while the proportion of RSV remained similar to the levels from previous weeks (Graph 2). Countries that reported in last 2 weeks, include Barbados and

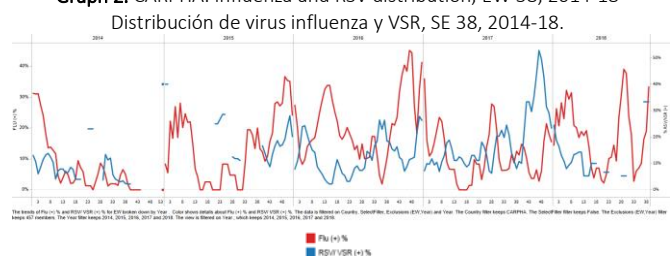
Trinidad and Tobago (Graph 3.) / Durante la SE 39, se reportaron mayores detecciones de influenza con co-circulación de influenza A(H1N1)pdm09 y B en semanas recientes (Gráfico 1). La proporción de muestras positivas para influenza aumentó, mientras que la de VSR se mantuvo similar a los niveles de semanas previas (Gráfico 2). Los países que reportaron datos en las 2 semanas previas incluyen Barbados y Trinidad y Tobago.

Graph 1. CARPHA. Influenza virus distribution EW, EW 38, 2014-18.



*To view more epi data, view [here](#). / Para ver mas datos epi, vea [aquí](#).

Graph 2. CARPHA. Influenza and RSV distribution, EW 38, 2014-18.

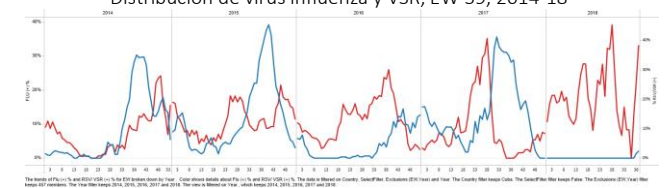


- During EW 39, increased influenza detections were reported, with influenza A(H1N1)pdm09 and B co-circulating (Graph 1); while there were few RSV detections (Graph 2). The number of SARI cases decreased and were lower than in the 2014-2017 seasons for the same period and were among the <5-years-old population, with influenza A(H3N2) predominating. / Durante la SE 39, se reportaron mayores detecciones de influenza, con co-circulación de influenza A(H1N1)pdm09 y B (Gráfico 1), en tanto hubieron contadas detecciones de VSR (Gráfico 2). Los casos de IRAG disminuyeron y estuvieron por debajo de los niveles de las temporadas 2014-2017 para el mismo período y fueron entre la población de < 5 años de edad con predominio de influenza A(H3N2).

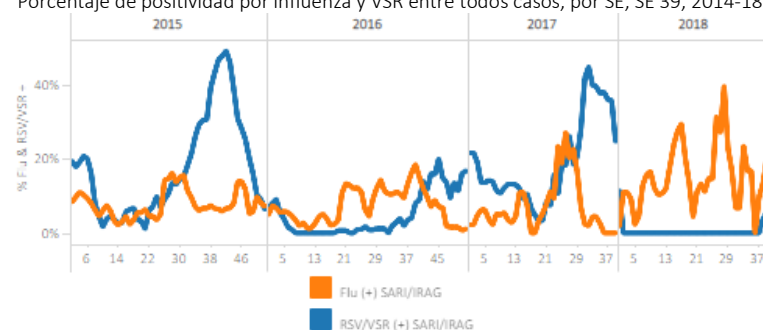
Graph 1. Cuba: Influenza virus distribution by EW, EW 39, 2014-18
Distribución de virus influenza por SE, SE 39, 2014-18



Graph 2. Cuba Influenza and RSV distribution, EW 39, 2014-18
Distribución de virus influenza y VSR, EW 39, 2014-18



Graph 3. Cuba: Percent positivity for influenza and RSV among SARI cases by EW, EW 39, 2014-18
Porcentaje de positividad por influenza y VSR entre todos casos, por SE, SE 39, 2014-18

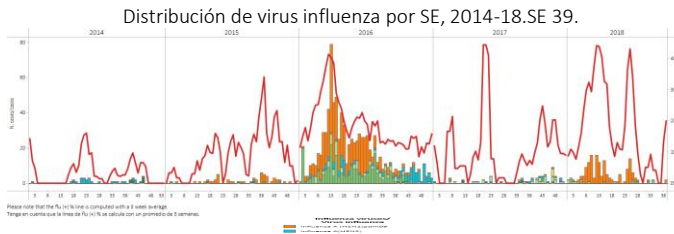


*To view more epi data, view [here](#). / Para ver mas datos epi, vea [aquí](#).

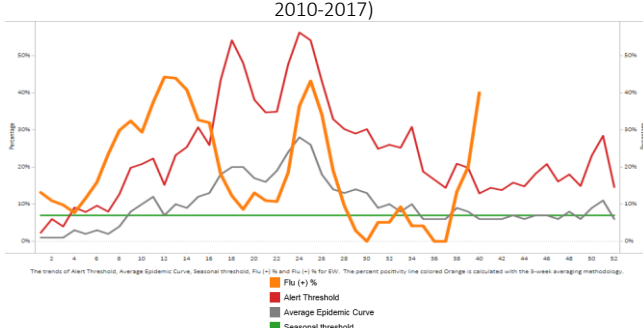
Dominican Republic / República Dominicana

- During EW 39, few influenza detections were reported, with influenza B and A(H1N1)pdm09 co-circulating in recent weeks (Graph 1); RSV detections increased (Graph 2). Influenza positivity was above the alert threshold (Graph 3). During EW 38, the number of SARI cases slightly decreased from previous weeks (Graph 4), with a low percentage of influenza positive samples. The SARI and influenza-associated SARI cases predominated among the <5 years old. / Durante la SE 39, se reportaron contadas detecciones de influenza, con co-circulación de influenza B y A(H1N1)pdm09 en semanas recientes (Gráfico 1); las detecciones de VSR fueron bajas (Gráfico 2). La actividad de influenza se ubicó bajo el umbral de alerta y del umbral epidémico (Gráfico 3). Durante la SE 38, el número de casos de IRAG disminuyó ligeramente en relación a semanas previas (Gráfico 4), con un bajo porcentaje de muestras positivas para influenza. Los casos de IRAG y los casos de IRAG asociados a influenza predominaron en los <5 años.

Graph 1. Dominican Republic: Influenza virus distribution EW, 2014-18. EW 39.

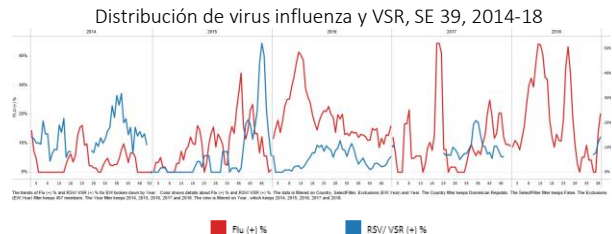


Graph 3. Dominican Republic: Percent positivity for influenza, 39, 2018 (in comparison to 2010-2017)
Porcentaje de positividad de influenza, SE 39, 2018 (en comparación a 2010-2017)

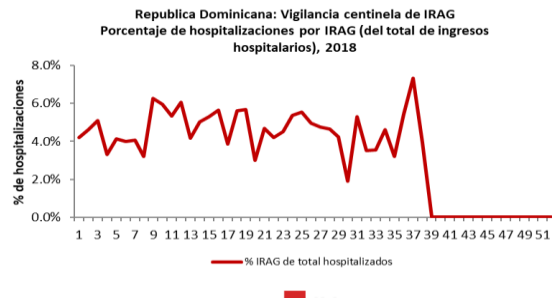


*To view more epi data, view [here](#). / Para ver mas datos epi, vea [aquí](#).

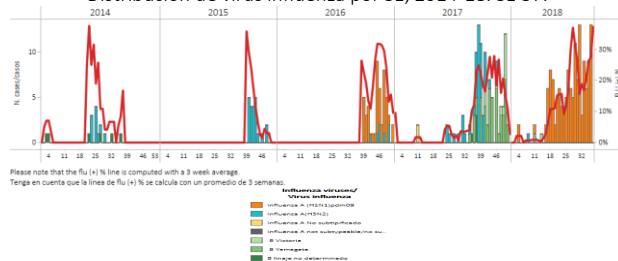
Graph 2. Dominican Republic Influenza and RSV distribution, EW 39, 2014-18



Graph 4. Dominican Republic: Percent of SARI cases out of total hospitalizations, by EW, EW 38, 2018
Porcentaje de casos de todos IRAG por EW, EW 38, 2018



Graph 1. Haiti: Influenza virus distribution EW, 2014-18. EW 37.
Distribución de virus influenza por SE, 2014-18. SE 37.



*To view more epi data, view [here](#). / Para ver mas datos epi, vea [aquí](#).

Graph 2. Haiti: Number of SARI cases, EW 37, 2017-2018.
Número de casos IRAG, SE 37, 2017-2018.

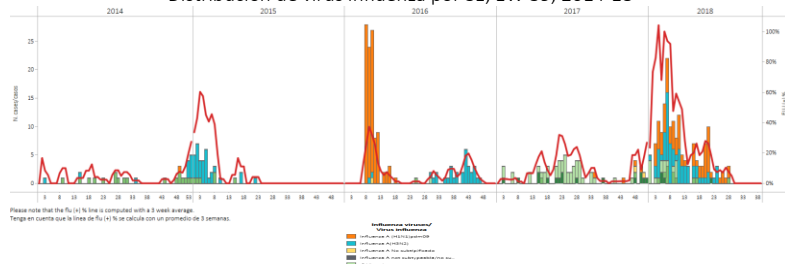


- During EW 37, increased influenza cases were reported as compared to the previous weeks, with influenza A(H1N1)pdm09 predominated (Graph 1). As of EW 37, the number of SARI hospitalizations decreased, as compared to previous weeks; and was slightly higher than the levels observed in 2017 for the same period (Graph 2). Most of the cases were among the <5 years old infants. / Durante la SE 37, se reportaron más casos de influenza en comparación a las semanas previas, con predominio de influenza A(H1N1)pdm09 (Gráfico 1). Hasta la SE 37, el número de hospitalizaciones por IRAG ha disminuido, siendo ligeramente superior a los niveles observados en 2017 para el mismo período (Gráfico 2). La mayoría de los casos se reportaron entre los niños <5 años de edad.

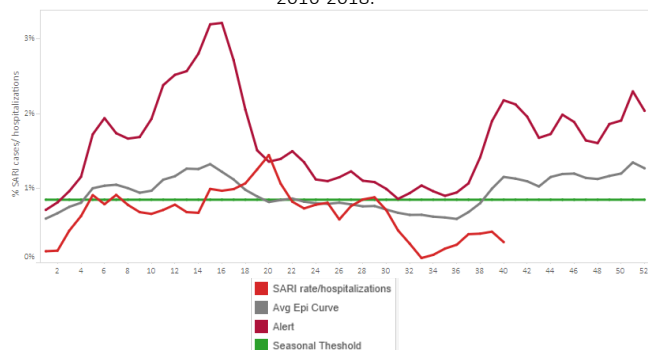
Jamaica

- During EW 39, SARI activity remained below the seasonal threshold, similar to the previous seasons for the same period (Graph 2). The number of ARI cases increased at the seasonal threshold, as compared to the 2014-2017 seasons for the same period. During EW 39, no influenza activity was reported; with influenza A(H1N1)pdm09 predominating in previous weeks (Graph 1). / Durante la SE 39, la actividad de IRAG permaneció por debajo del umbral estacional, similar a lo observado en las temporadas previas para el mismo período (Gráfico 2). El número de casos de IRA aumentó aún en el umbral de estacional, en comparación a las temporadas 2014-2017 para el mismo período. Durante la SE 39, se no se reportó actividad de influenza; con predominio de influenza A(H1N1)pdm09 en semanas previas (Gráfico 1).

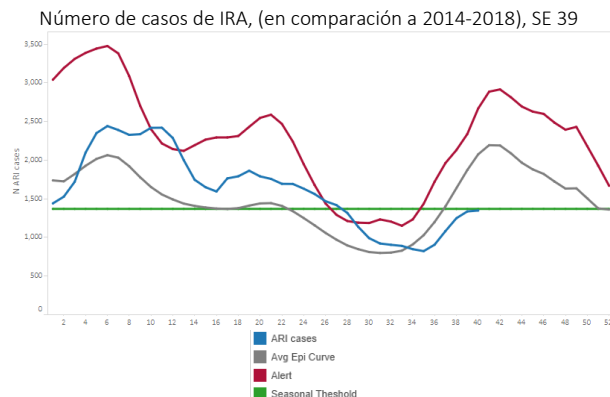
Graph 1. Jamaica: Influenza virus distribution by EW, EW 39, 2014-18
Distribución de virus influenza por SE, EW 39, 2014-18



Graph 2. Jamaica: % SARI hospitalizations among total hospitalizations, EW 39, 2016-2018. / % hospitalizaciones de casos IRAG entre total de hospitalizaciones, SE 39, 2016-2018.



Graph 3. Jamaica: Number of ARI cases (compared to 2014-2018), EW 39

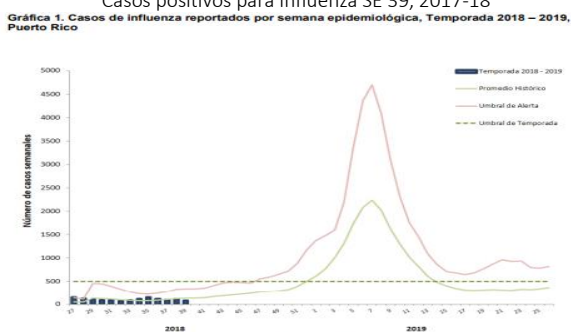


*To view more epi data, view [here](#). / Para ver mas datos epi, vea [aquí](#).

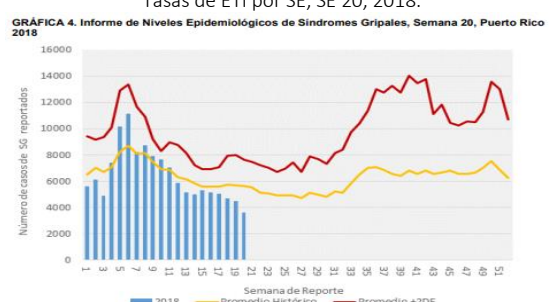
Puerto Rico

- During EW 39, few influenza cases were detected below the seasonal threshold, with co-circulation of influenza A(H3N2), A(H1N1)pdm09 and B (Graph 1) in recent weeks. ILI activity remained below the average epidemic curve (Graph 2). / Durante la SE 39, se han detectado contados casos de influenza por debajo del umbral estacional, con co-circulación de influenza A(H3N2), A(H1N1)pdm09 y B en semanas recientes (Gráfico 1). La actividad del ETI se mantuvo por debajo de la curva epidémica media (Gráfico 2).

Graph 1. Puerto Rico: Influenza-positive cases by EW 39, 2017-18
Casos positivos para influenza SE 39, 2017-18



Graph 2. Puerto Rico: ILI epidemic rates by EW 20, 2018 / Tasas de ETI por SE, SE 20, 2018.

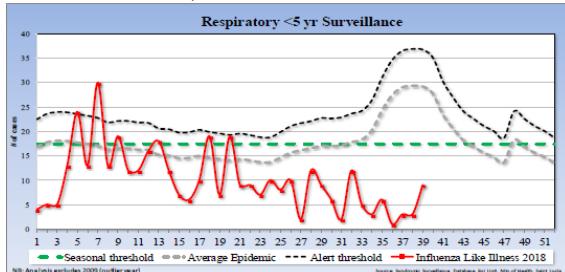


Saint Lucia

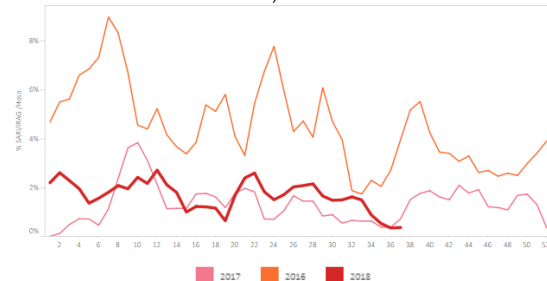
- During EW 39, the number of cases with respiratory symptoms among children under 5 years of age continued below the seasonal levels (Graph 1). During EW 36, SARI activity was similar as compared to the 2016-2017 seasons (Graph 2), with SARI admissions predominating among the 1 to 4 years of age population. / Durante la SE 39, el número de casos con síntomas respiratorios en niños menores de 5 años de edad continuo bajo los niveles estacionales (Gráfico 1). Durante la SE 36 la actividad de IRAG fue similar en comparación con las temporadas 2016 y 2017 (Gráfico 2), con predominio de las admisiones por IRAG entre el grupo de 1 y 4 años de edad.

Graph 1. Saint Lucia: ILI cases distribution by EW among the < 5 years of age, EW 39, 2014-18

Distribución de ETI por SE entre los <5 años de edad, SE 39, 2014-18

**Graph 2.** Saint Lucia: Percent of SARI cases per total hospitalizations by year, 2016-2018, EW 36. /

Porcentaje de casos de IRAG por todos hospitalizaciones por año, 2016-2018, SE 36.

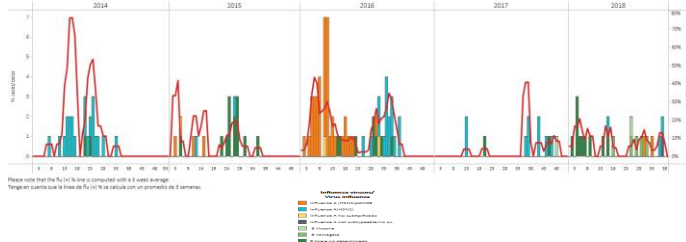
*To view more epi data, view [here](#). / Para ver mas datos epi, vea [aquí](#).

Suriname

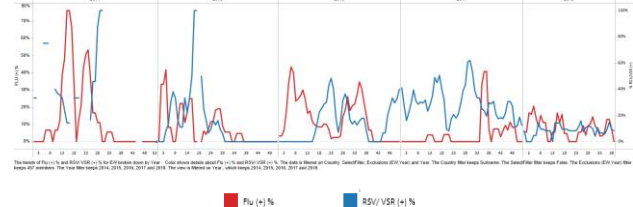
- During EW 39, ILI case counts were similar to the previous week, while SARI-related hospitalizations remained at low levels in recent weeks and were lower, as compared to the 2017 season for the same period (Graph 3, 4). Decreased SARI cases were associated with co-circulation of influenza A(H3N2) and A(H1N1)pdm09; and predominated among the <5 years-of-age population. During EW 39, decreased influenza activity was reported, with influenza A(H3N2) and A(H1N1)pdm09 co-circulating in recent weeks (Graph 1); RSV remained at low levels (Graph 2). / Durante la SE 39, el número de casos de ETI fue similar a la semana previa, en tanto las hospitalizaciones relacionadas con IRAG permanecieron bajas en semanas previas y fueron menores en comparación a la temporada 2017 para el mismo período (Gráfico 3, 4). El descenso de casos de IRAG se asoció a co-circulación de influenza A(H3N2) y A(H1N1)pdm09; y predominó entre la población de <5 años de edad. Durante la SE 39, se reportó menor actividad de influenza, con co-circulación de influenza A(H3N2) y A(H1N1)pdm09 en semanas previas (Gráfico 1); VSR permaneció a niveles bajos (Gráfico 2).

Graph 1. Suriname: Influenza virus distribution by EW 39, 2014-18

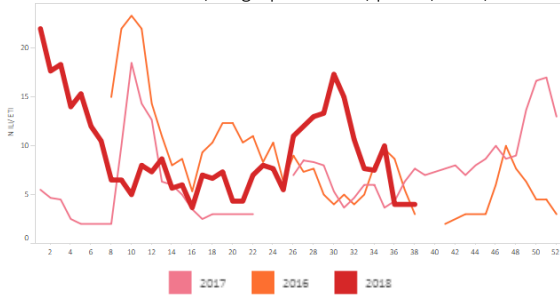
Distribución de virus influenza por SE 39, 2014-18

**Graph 2.** Suriname: Influenza and RSV distribution, EW 39, 2015-18

Distribución de virus influenza y VSR, SE 39, 2015-18

**Graph 3.** Suriname: Number of ILI cases, by age, by EW, 2018.EW 38

Número de casos ETI, en grupo de edad, por SE, 2018, SE 38

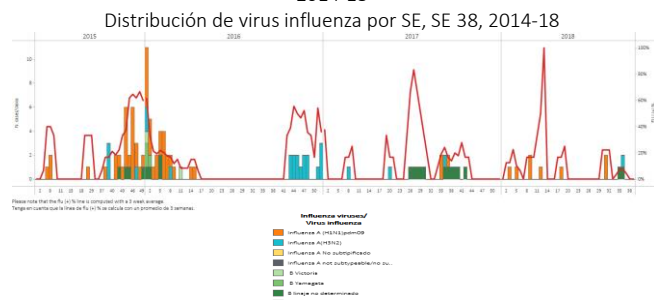
*To view more epi data, view [here](#). / Para ver mas datos epi, vea [aquí](#).

Trinidad & Tobago

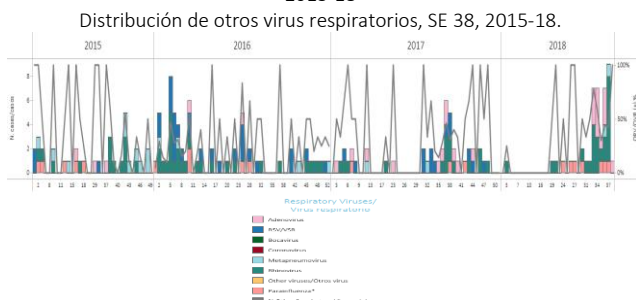
- During EW 38, no influenza detections were reported, with influenza A(H1N1)pdm09 and B predominating in previous weeks (Graph 1). Rhinovirus and parainfluenza virus circulated in recent weeks, and there were no RSV detections reported (Graph 2). As of EW 37, SARI activity decreased from the previous weeks (Graph 3). / Durante la SE 38, no se reportaron detecciones de influenza, con predominio de influenza A(H1N1)pdm09 y B en semanas previas (Gráfico 1).

Rhinovirus y parainfluenza circularon en semanas recientes y no se reportaron detecciones de VSR (Gráfico 2). Hasta la SE 37, la actividad de IRAG disminuyó en relación a las semanas previas (Gráfico 3).

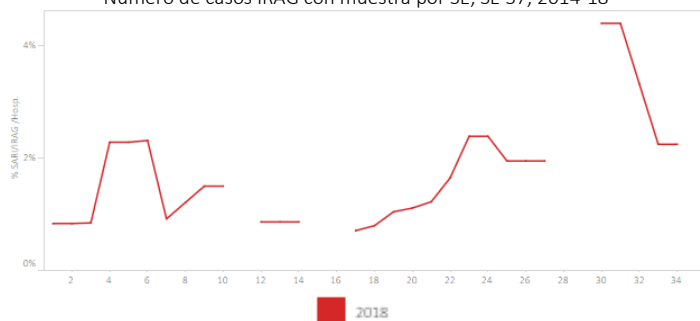
Graph 1. Trinidad & Tobago: Influenza virus distribution by EW, EW 38, 2014-18



Graph 2. Trinidad & Tobago. Other respiratory virus distribution, EW 38, 2015-18



Graph 3. Trinidad & Tobago: Number of SARI cases with samples by EW, EW 37, 2014-18
Número de casos IRAG con muestra por SE, SE 37, 2014-18

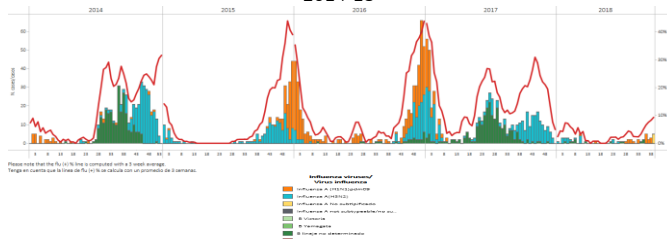


Costa Rica

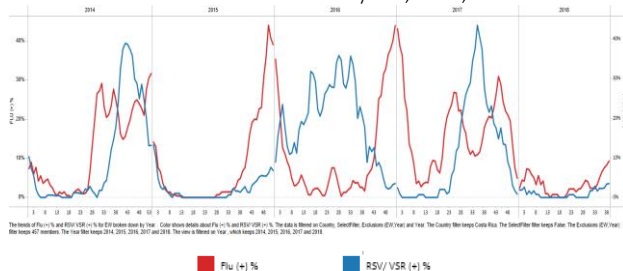
- During EW 39, influenza activity slightly increased, as compared to the previous week with influenza A(H1N1)pdm09 and B co-circulating (Graph 1). Influenza activity during EW 39 was similar to the 2017 season for the same period and RSV activity remained at low levels (Graph 1, 2). / Durante la SE 39, la actividad de influenza disminuyó ligeramente, en comparación con las semanas previas con co-circulación de influenza A(H1N1)pdm09 y B (Gráfico 1). La actividad de influenza durante la SE 39 fue similar a la temporada 2017 para el mismo período y la actividad de VSR permaneció a niveles bajos (Gráficos 1, 2).

Graph 1. Costa Rica: Influenza virus distribution, Laboratory confirmed samples, by EW 39, 2014-18

Distribución de virus influenza, confirmados por laboratorio, hasta SE 39, 2014-18



Graph 2. Costa Rica: Influenza and RSV distribution, EW 39, 2015-18
Distribución de virus influenza y VSR, SE 39, 2015-18



El Salvador

- During EW 38, influenza activity decreased slightly at the alert threshold with influenza A(H1N1)pdm09 and B co-circulating (Graphs 1, 3). RSV positivity remained lower than the levels observed in the previous season (Graph 2). During EW 38, SARI case counts slightly decreased and were lower to levels observed in the 2016-2017 seasons (Graph 4, 5). / Durante la SE 38, la actividad de influenza disminuyó en el umbral de alerta con co-circulación de influenza A(H1N1)pdm09 y B (Gráficos 1, 3). La positividad de VSR permaneció menor a los niveles observados en la temporada anterior (Gráfico 2). Durante la SE 38, los casos IRAG disminuyeron ligeramente y fueron menores a los niveles registrados en la temporada 2016-2017 (Gráfico 4).

Graph 1. El Salvador: Influenza virus distribution, EW 38, 2014-18
Distribución de virus influenza, SE 38, 2014-18

Distribuição de vírus influenza, SE-33, 2014-18

N. positivos

40%
20%
0%

2014 2015 2016 2017 2018

A/H1N1pdm09
A/H3N2
B

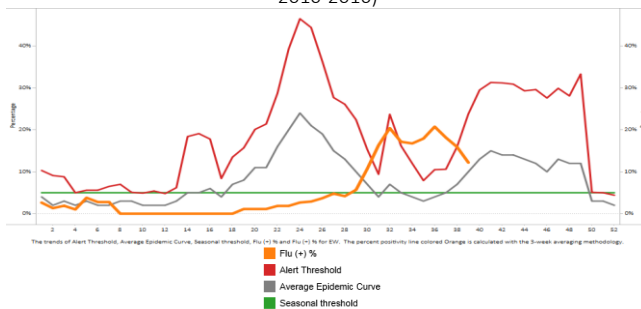
4 11 18 25 32 39 46 4 11 18 25 32 39 46 4 11 18 25 32 39 46 4 11 18 25 32

Please note that the flu (+) % line is computed with a 3 weeks average.

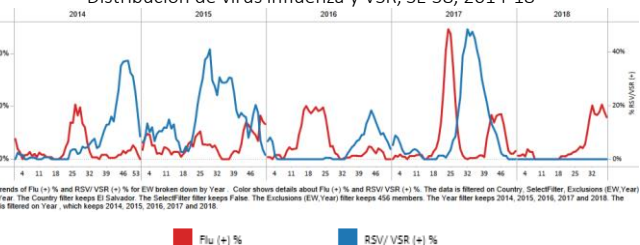


Graph 3. El Salvador: Percent positivity for influenza, EW 38, 2018 (in comparision to 2010-2016)

Porcentaje de positividad de influenza, SE 38, 2018 (en comparación a 2010-2016)



Graph 2. El Salvador: Influenza and RSV distribution, EW 38, 2014-18
Distribución de virus influenza y VSR, SE 38, 2014-18



Graph 4. El Salvador: Percent of SARI cases out of total hospitalizations, by EW, 2016- 2018. EW 39.

Porcentaje de casos por IRAG de todas las hospitalizaciones, por SE, 2016-2018. SE 39.



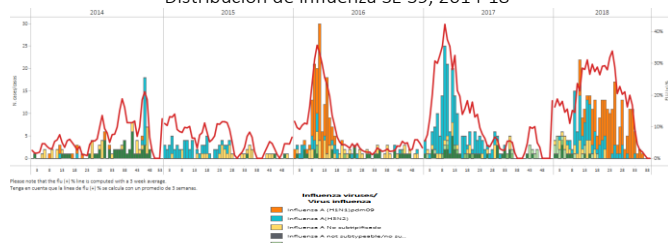
*To view more epi data, view here. / Para ver mas datos epi, vea aquí.

Guatemala

- During EW 39, a decrease was reported in influenza detections from the previous week, with influenza A(H1N1)pdm09 predominating (Graph 1). Influenza positivity decreased below the seasonal threshold, as compared to the 2010-2017 period (Graph 3). The influenza proportion was similar to the levels from 2016-2017 season for the same period, while RSV activity increased in the last week (Graph 2). During EW 39, pneumonia activity continued low, compared to 2017 levels, and decreased slightly compared to previous weeks (Graph 4). Up to EW 39, the percent of SARI cases was higher than the 2017 season for the same period, with the highest proportion among <5 years old population (Graph 5). / Durante la SE 39, se reportó un descenso en las detecciones de influenza respecto a la semana previa con predominio de influenza A(H1N1)pdm09 (Gráfico 1). La positividad de influenza disminuyó bajo el umbral estacional, en comparación al período 2010-2017 (Gráfico 3). La proporción de influenza fue similar a los niveles de la temporada 2016-2017 para el mismo período, en tanto la actividad de VSR aumentó en las últimas semanas (Gráfico 2). Durante la SE 39, la actividad de neumonía se mantuvo baja respecto al 2017, disminuyendo ligeramente respecto a las semanas previas (Gráfico 4). Hasta la SE 39, el porcentaje de casos IRAG fue mayor que en la temporada 2017 para el mismo período, con la mayor proporción en la población < de 5 años (Gráficos 5)

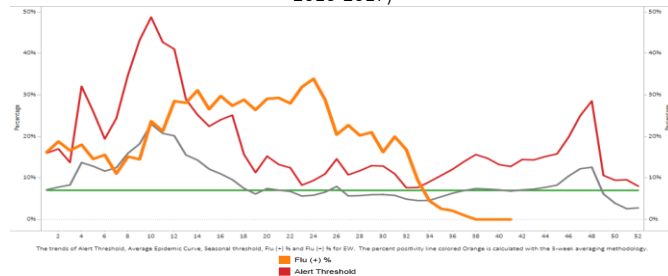
Graph 1. Guatemala. Influenza virus distribution EW 39, 2014-18

Distribución de influenza SE 39, 2014-18



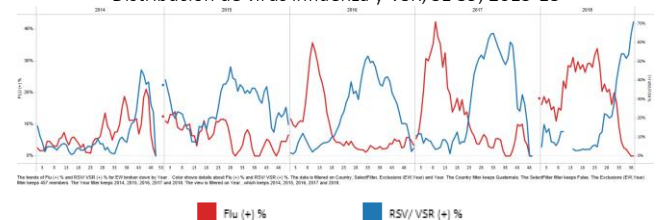
Graph 3. Guatemala: Percent positivity for influenza, EW 39, 2018 (in comparision to 2010-2017)

Porcentaje de positividad de influenza, SE 39, 2018 (en comparación con 2010-2017)

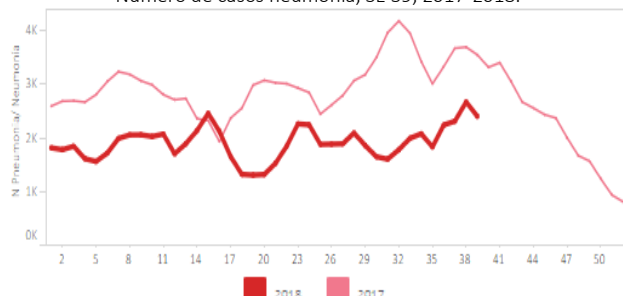


Graph 2. Guatemala: Influenza and RSV distribution, EW 39, 2015-18

Distribución de virus influenza y VSR, SE 39, 2015-18



Graph 4. Guatemala: Number of pneumonia cases, EW 39, 2017-2018. / Número de casos neumonía, SE 39, 2017-2018.



Graph 5. Guatemala: Number of SARI cases, EW 39, 2017-2018. / Número de casos IRAG, SE 39, 2017-2018.



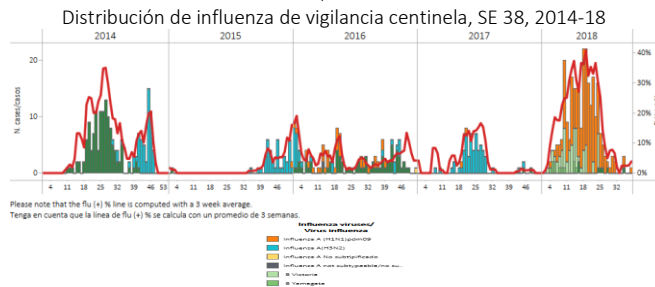
*To view more epi data, view [here](#). / Para ver mas datos epi, vea [aquí](#).

Honduras

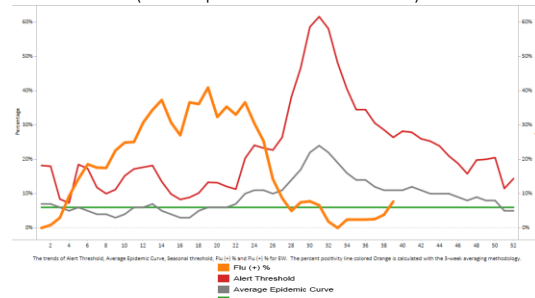
- During EW 38, at the sentinel sites, influenza activity slightly increased below the seasonal threshold (Graph 3) with influenza A(H1N1)pdm09 predominating (Graph 1); few RSV detections were reported (Graph 2). The influenza positive cases were reported mainly from Cortes and Francisco Morazán departments and most cases were among children under 5 years of age. The percent of SARI cases out of total hospitalizations increased compared to previous weeks, lower than the levels of the 2012-2017 seasons (Graph 4). / Durante la SE 38 de 2018, en los sitios centinela, la actividad de influenza aumentó ligeramente bajo el umbral estacional (Gráfico 3) con predominio de influenza A(H1N1)pdm09 (Gráfico 1); se

reportaron contadas detecciones de VSR (Gráfico 2). Los casos positivos de influenza fueron reportados principalmente en los departamentos de Cortés y Francisco Morazán, y la mayoría de los casos fueron en niños menores de 5 años de edad. El porcentaje de IRAG frente al total de los ingresos hospitalarios aumentó respecto a las semanas previas, y fue menor a los niveles de las temporadas 2012-2017 (Gráfico 4).

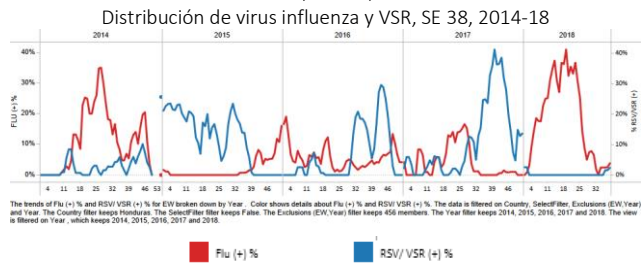
Graph 1. Honduras. Influenza virus distribution from sentinel surveillance, EW 38, 2014-18



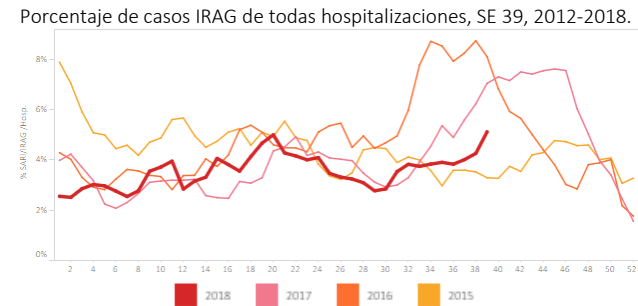
Graph 3. Honduras : Percent positivity for influenza,from sentinel surveillance, EW 38, 2018 (in comparision to 2010-2017)
Porcentaje de positividad de influenza, de la vigilancia centinela, SE 38, 2018 (en comparación con 2010-2017)



Graph 2. Honduras: Influenza and RSV distribution form sentinel surveillance, EW 38, 2014-18



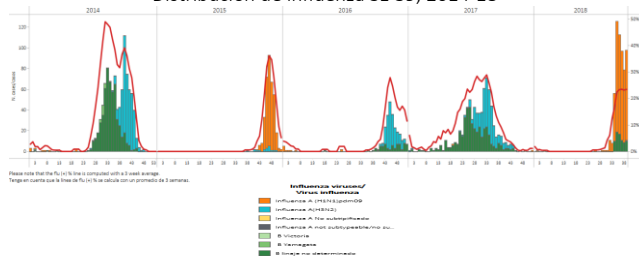
Graph 4. Honduras: Percent of SARI cases out of total hospitalizations, EW 39, 2012-2018. /
Porcentaje de casos IRAG de todas hospitalizaciones, SE 39, 2012-2018.



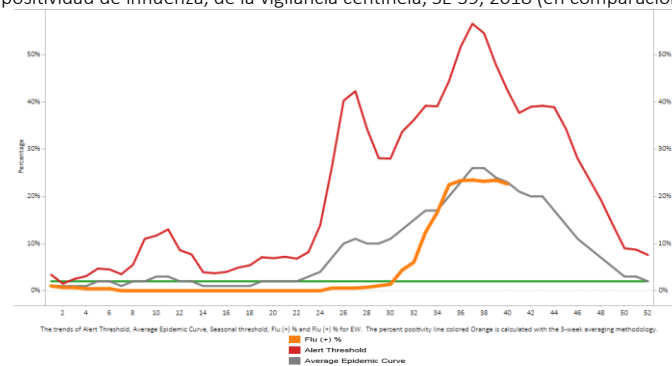
Nicaragua

- During the 2018 season, influenza activity was reported at low levels. From EW 29 to EW 39, influenza A(H1N1)pdm09 activity increased at the levels of the average epidemic curve (Graph 1,3), and RSV levels remained low in previous weeks (Graph 2). / Durante la temporada 2018, la actividad de influenza se reportó a niveles bajos. Desde la SE 29 a la SE 39, aumentó la actividad de influenza A(H1N1)pdm09 a nivel de la curva epidémica promedio (Grafico 1), y los niveles de VSR se mantuvieron bajos en las últimas semanas (Gráfico 2).

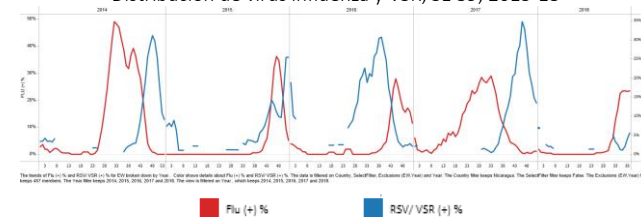
Graph 1. Nicaragua. Influenza virus distribution EW 39, 2014-18
Distribución de influenza SE 39, 2014-18



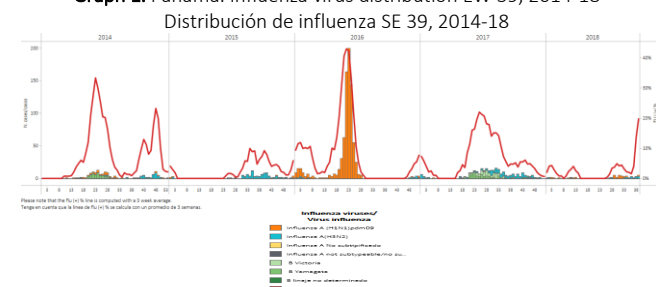
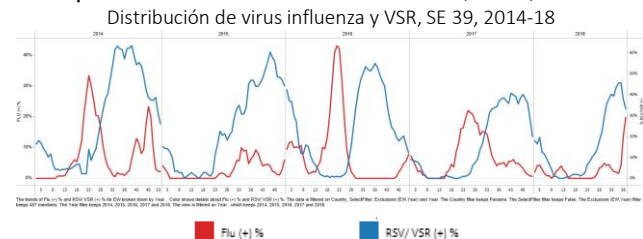
Graph 3. Nicaragua : Percent positivity for influenza,from sentinel surveillance, EW 39, 2018 (in comparision to 2010-2017)
Porcentaje de positividad de influenza, de la vigilancia centinela, SE 39, 2018 (en comparación con 2010-2017)



Graph 2. Nicaragua: Influenza and RSV distribution, EW 39, 2015-18
Distribución de virus influenza y VSR, SE 39, 2015-18



- During the 2018 season, at the national level, influenza activity continued at low levels. In EW 39, increased influenza detections were reported, with influenza A(H3N2) and A(H1N1)pdm09 co-circulating in previous weeks (Graph 1); and RSV detections slightly decreased as compared to previous weeks (Graph 2). / Durante la temporada 2018, a nivel nacional, la actividad de influenza continuó en niveles bajos. En la SE 39, se han reportado mayores detecciones de influenza, con co-circulación de influenza A(H3N2) y A(H1N1)pdm09 en semanas previas (Gráfico 1); las detecciones de VSR disminuyeron ligeramente respecto a las semanas previas (Gráfico 2).

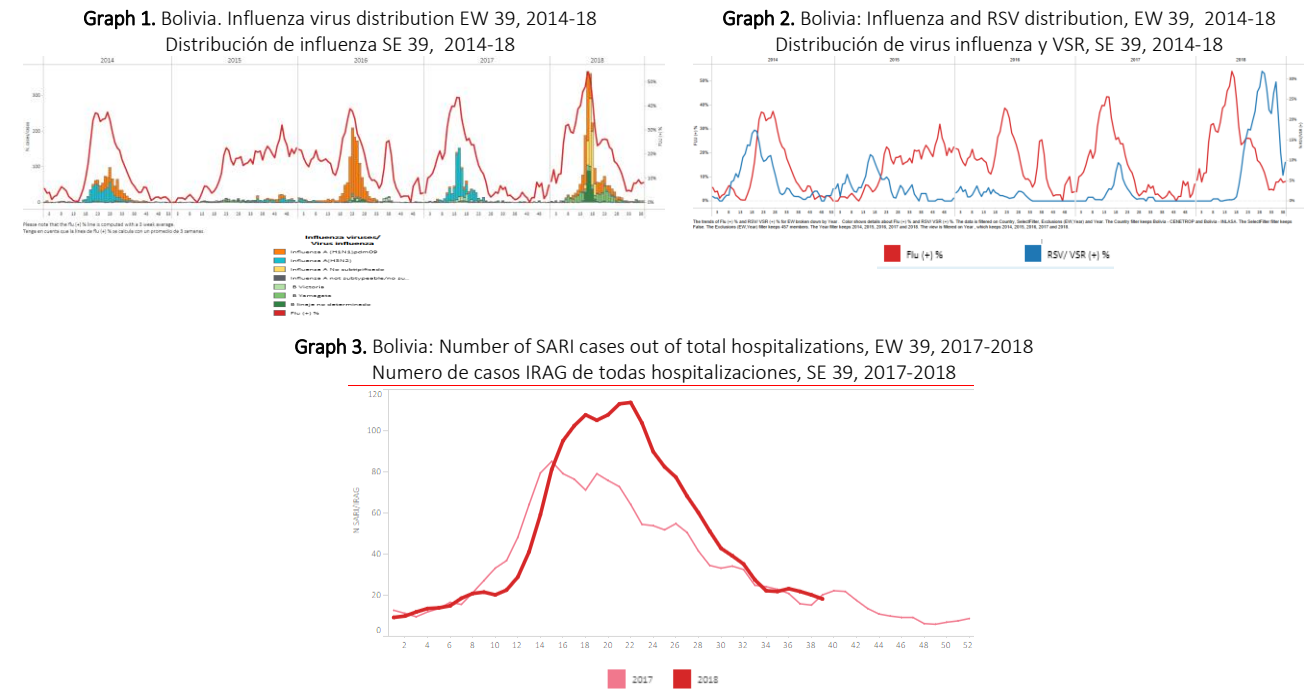
Graph 1. Panama. Influenza virus distribution EW 39, 2014-18**Graph 2.** Panama: Influenza and RSV distribution, EW 39, 2014-18

*To view more epi data, view [here](#). / Para ver mas datos epi, vea [aquí](#).

South America / América del Sur – Andean countries / Países andinos:

Bolivia

- During EW 39, at the national level, SARI cases decreased from the previous weeks and counts were similar to the levels observed in the 2017 season for the same period (Graph 3). Influenza activity slightly decreased from the previous week with influenza B and A(H1N1)pdm09 co-circulating; and RSV activity slightly increased (Graph 1, 2). In La Paz, in EW 37, the number of SARI cases decreased below the seasonal levels from previous weeks, with influenza B and A. / En la SE 39, a nivel nacional, los casos de IRAG descendieron respecto a semanas previas y los recuentos fueron similares a los niveles observados en la temporada 2017 para el mismo período (Grafico 3). La actividad de influenza disminuyó ligeramente respecto a lo observado la semana previa con co-circulación de influenza B y A(H1N1)pdm09 (Gráfico 1) y la actividad del VRS disminuyó (Gráfico 2). En La Paz, en la SE 37, el recuento de casos de IRAG disminuyó por debajo del nivel estacional en relación a semanas previas, con co-circulación de influenza B y A.

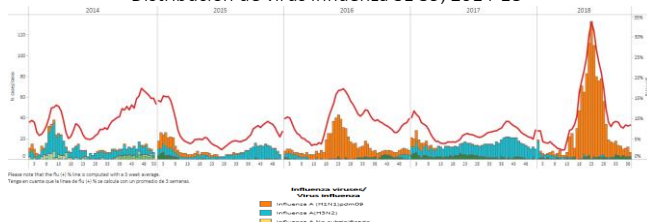


*To view more epi data, view [here](#). / Para ver más datos epi, vea [aquí](#).

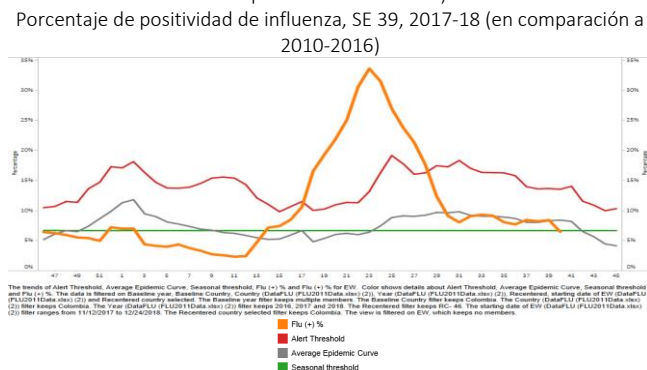
Colombia

- During EW 39, at national level, SARI case counts were lower as compared to the previous seasons for the same period and was below the seasonal threshold and the alert threshold (Graph 4). In EW 39, influenza activity decreased as compared to the previous weeks with influenza A(H1N1)pdm09 predominating (Graphs 1, 3); while RSV percent positivity slightly decreased (Graph 2). During EW 39, pneumonia activity continued at seasonal levels and ARI activity was at the alert threshold, in comparison to seasons in 2014-2017 (Graph 5, 6). / En la SE 39, a nivel nacional, el número de casos de IRAG fue menor en comparación a las temporadas previas para el mismo período, situándose por debajo del umbral estacional y de alerta (Grafico 4). Durante la SE 39, la actividad de influenza disminuyó en comparación a las semanas anteriores y con predominio de influenza A(H1N1)pdm09 (Gráficos 1, 3); en tanto la positividad de VSR disminuyó ligeramente (Gráfico 2). Durante la SE 39, la actividad de neumonía continuó en niveles estacionales y la actividad de IRA se situó en el umbral de alerta, en comparación con las temporadas 2014-2017 (Gráficos 5, 6).

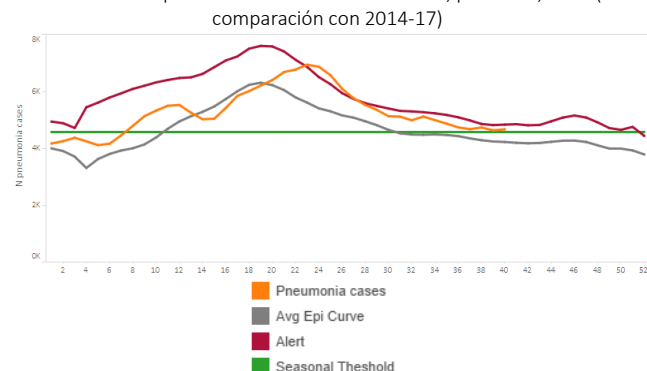
Graph 1. Colombia. Influenza virus distribution EW 39, 2014-18
Distribución de virus influenza SE 39, 2014-18



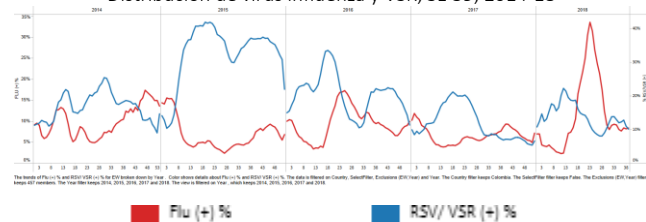
Graph 3. Colombia: Percent positivity for influenza, EW 39, 2017-18 (in comparison to 2010-2016)
Porcentaje de positividad de influenza, SE 39, 2017-18 (en comparación a 2010-2016)



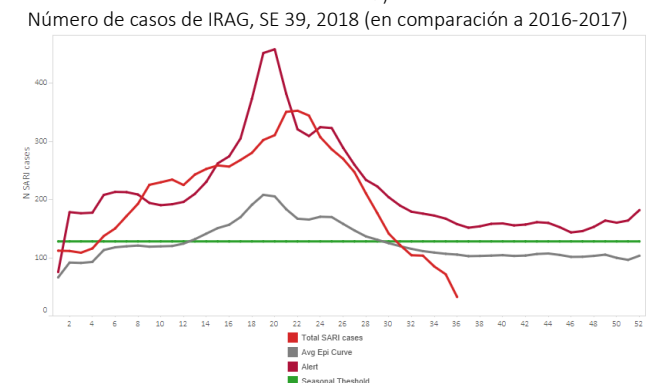
Graph 5. Colombia: Number of pneumonia-related hospitalizations, by EW 39, 2018 (in comparison with 2014-17)
Número de hospitalización asociado a neumonía, por SE 39, 2018 (en comparación con 2014-17)



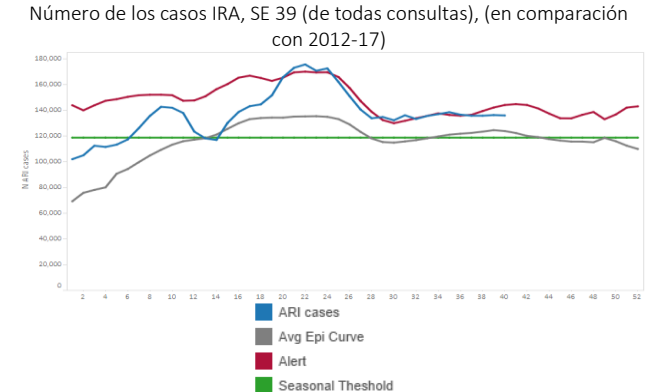
Graph 2. Colombia: Influenza and RSV distribution, EW 39, 2014-18
Distribución de virus influenza y VSR, SE 39, 2014-18



Graph 4. Colombia: Number of SARI cases, EW 39, 2018 (in comparison to 2016-2017)
Número de casos de IRAG, SE 39, 2018 (en comparación a 2016-2017)



Graph 6. Colombia: Number of ARI cases, EW 39 (from all consultations), (in comparison with 2012-17)
Número de los casos IRA, SE 39 (de todas consultas), (en comparación con 2012-17)

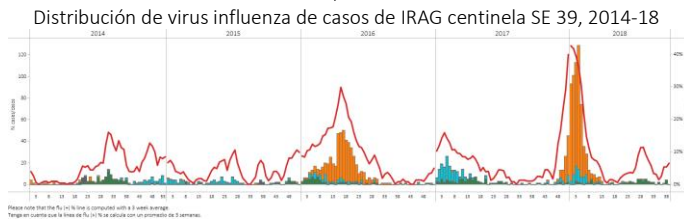


*To view more epi data, view [here](#). / Para ver mas datos epi, vea [aquí](#).

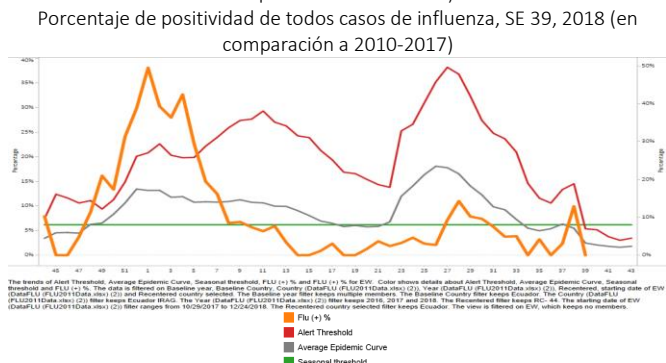
Ecuador

- During EW 38, at national level, the proportion of SARI cases among all hospitalizations decreased from previous weeks and remained similar to the levels observed during the 2016 -2017 seasons for the same period (Graph 4). During EW 39, influenza activity was slightly higher as compared to the previous weeks and below the alert threshold (Graph 2). Influenza percent positivity was similar to the levels reported during the prior season for the same period, with no RSV detections (Graph 1, 2). / Durante la SE 38, a nivel nacional, la proporción de casos de IRAG del total de hospitalizaciones disminuyó en relación a semanas previas y se mantuvo similar a los niveles observados durante 2016-2017 para el mismo período (Gráfico 4). En la SE 39, la actividad de influenza fue ligeramente mayor en comparación con semanas previas y por debajo del umbral de alerta (Gráfico 2). El porcentaje de positividad de influenza fue similar a los niveles registrados en la temporada previa para el mismo período, sin detecciones para VSR (Gráficos 1, 2).

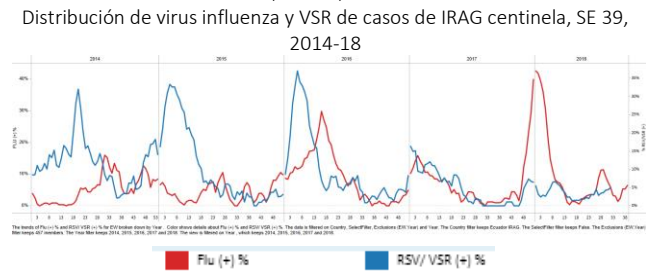
Graph 1. Ecuador IRAG: Influenza virus distribution from SARI sentinel cases by EW 39, 2014-18



Graph 3. Ecuador: Percent positivity for all influenza cases, EW 39, 2018 (in comparision to 2010-2017)

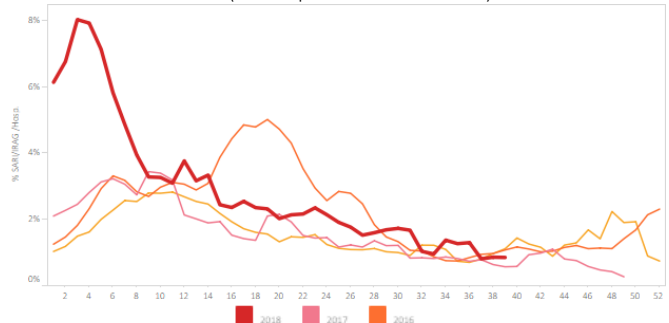


Graph 2. Ecuador IRAG: Influenza and RSV distribution from SARI sentinel cases, EW 39, 2014-18



Graph 4. Ecuador: Percent of SARI cases per total hospitalizations, as of EW 38, 2018 (compared to 2016-2017)

Porcentaje de casos de IRAG por total de hospitalizaciones hasta la SE 38, 2018 (en comparacion a 2016-2017)

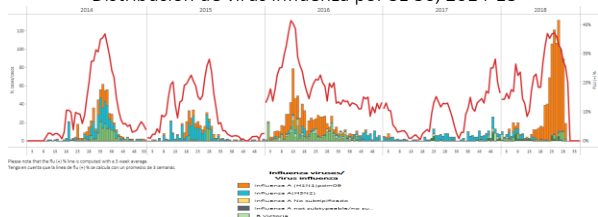


*To view more epi data, view [here](#). / Para ver mas datos epi, vea [aquí](#).

Peru

- During EW 38, at national level, SARI case counts among all hospitalizations decreased compared to previous weeks and remained higher than the 2015-2017 seasons for the same period (Graph 4). In EW 30, influenza activity decreased below the alert threshold, with influenza A(H1N1)pdm09 predominating (Graph 1,3). RSV positivity slightly increased, as compared to the previous weeks and was lower than levels observed in 2017 for the same period (Graph 2). During SE 38, at the national level, ARI case counts among the under 5 years of age population, were similar to the levels observed in 2016-2017 for the same period (Graph 5). However, the pneumonia case counts in infants under 5 years of age were slightly higher than the counts reported in 2016-2017 for the same period (Graph 6). During EW 39, 16 departments reported pneumonia cumulative cases among the under 5 years of age children higher than the median of the 2013-2017 seasons for the same period: Amazonas, Ancash, Apurimac, Arequipa, Ayacucho, Callao, Cusco, Huanuco, La Libertad, Lima, Madre de Dios, Moquegua, Pasco, Puno, Tacna, and Ucayali./ En la SE 38, a nivel nacional, el número de casos de IRAG entre el total de hospitalizaciones disminuyó respecto a las semanas previas y se mantuvo superior a lo observado en las temporadas 2015-2017 para el mismo período (Gráfico 4). Durante la SE 30, la actividad de influenza se ubicó bajo el nivel de alerta, con predominio de influenza A(H1N1)pdm09 (Gráficos 1,3). La positividad de VSR aumentó ligeramente, en comparación con las semanas anteriores y fue menor a los niveles observados en 2017 para el mismo período (Gráfico 2). Durante la SE 38, a nivel nacional, el recuento de casos de IRA en la población de menores de 5 años fue similar a los niveles observados en 2016-2017 para el mismo período (Gráfico 5). Sin embargo, el recuento de casos de neumonía en niños menores de 5 años fue ligeramente superior a los niveles reportados en 2016-2017 para el mismo período (Gráfico 6). Durante la SE 39, 16 departamentos reportaron recuento de casos de neumonía en niños menores de 5 años superior a la mediana de las temporadas 2013-2017 para el mismo período: Amazonas, Ancash, Apurimac, Arequipa, Ayacucho, Callao, Cusco, Huanuco, La Libertad, Lima, Madre de Dios, Moquegua, Pasco, Puno, Tacna, y Ucayali

Graph 1. Peru: Influenza virus distribution by EW 30, 2014-18
Distribución de virus influenza por SE 30, 2014-18

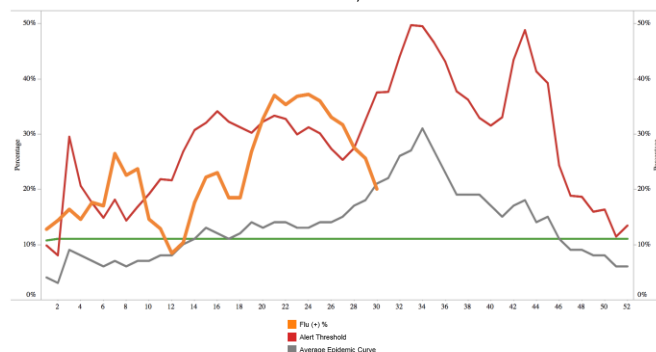


Graph 2. Peru: Influenza and RSV distribution, EW 30, 2014-18
Distribución de virus influenza y VSR, SE 30, 2014-18



Graph 3. Perú: Percent positivity for influenza, EW 30, 2018 (in comparision to 2010-2017)

Porcentaje de positividad de influenza, SE 30, 2018 (en comparación a 2010-2017)

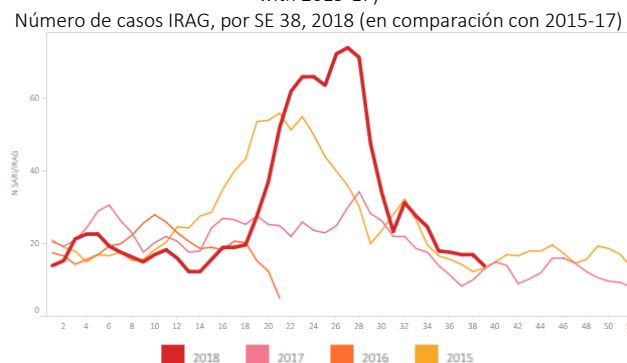


Graph 5. Peru. ARI cases in children under 5 years, by EW 38, 2016-2018



*To view more epi data, view [here](#). / Para ver mas datos epi, vea [aquí](#).

Graph 4. Peru: Number of SARI cases, by EW 38, 2018 (in comparison with 2015-17)

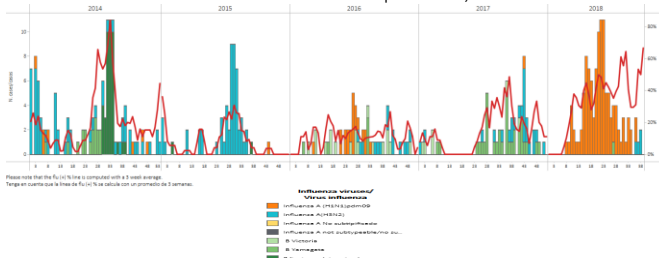


Graph 6. Peru: Pneumonia cases in children under 5 years, by EW 38, 2016-2018

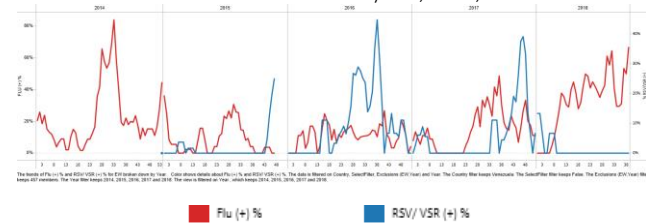


- During EW 39, influenza activity increased with influenza A(H1N1)pdm09 predominating, and few detections of influenza A(H3N2) (Graph 1, 2). Up to EW 39, no RSV detections were reported. / En la SE 39, la actividad de influenza aumentó con predominio de influenza A(H1N1)pdm09, y escasas detecciones de influenza A(H3N2) (Gráficos 1, 2). A la SE 39, no se reportaron detecciones por VSR (Gráfico 2).

Graph 1. Venezuela: Influenza virus distribution by EW 39, 2014-18
Distribución de virus influenza por SE 39, 2014-18



Graph 2. Venezuela: Influenza and RSV distribution, EW 39, 2014-18
Distribución de virus influenza y VSR, SE 39, 2014-18

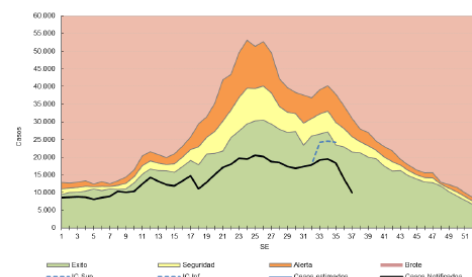


Argentina

- During EW 34, at national level, the number of SARI cases was lower than previous weeks and below the alert threshold (Graph 2, 6). ILI activity was low for the period (Graph 1). During EW 36, influenza activity decreased as compared with the previous weeks with overall few samples tested, and influenza B and A(H1N1)pdm09 co-circulating (Graphs 3, 5). RSV positivity decreased and was similar to the levels reported during the previous season for the same period (Graph 4). During EW 39, 2018, 52 influenza-associated deaths were reported, lower than the levels observed during the 2016-2017 seasons for the same period (Graph 7), mostly among the 45 years of age population and older and with risk factors (70%). / En la SE 34, a nivel nacional los casos de IRAG fueron menores a las semanas previas y estuvieron por debajo el umbral de alerta (Gráfico 2 y 6). La actividad de ETI fue baja para el período (Gráfico 1). Durante la SE 36, la actividad de influenza disminuyó en comparación con semanas previas, con recuento bajo de muestras estudiadas, y co-circulación de influenza B y A(H1N1)pdm09 (Gráficos 3, 5). El porcentaje de positividad para VSR disminuyó y fue similar a lo registrado en la temporada previa para el mismo período (Gráfico 4). Durante la SE 39 de 2018, se reportaron 52 fallecidos asociados a influenza, menor a los niveles observados durante las temporadas 2016-2017 para el mismo período (Gráfico 7), en su mayoría entre la población de 45 años de edad y más, y con factores de riesgo (70%).

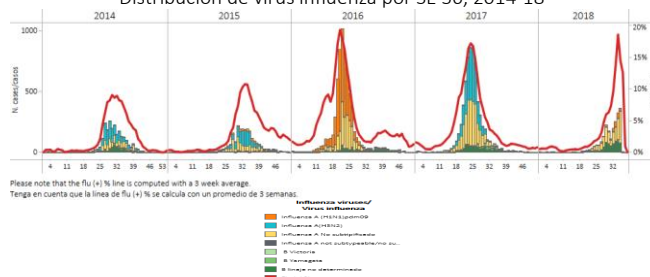
Graph 1. Argentina. ILI cases. Endemic channel, EW 34, 2018 (compared to 2013-2017) / Casos de ETI. Corredor endémico, SE 34, 2018 (en comparación a 2013-2017)

Gráfico 1 - Argentina: Corredor endémico semanal de ETI 2018. Curva de casos y estimaciones hasta la SE37. Total país. Históricos 5 años: 2013 a 2017.



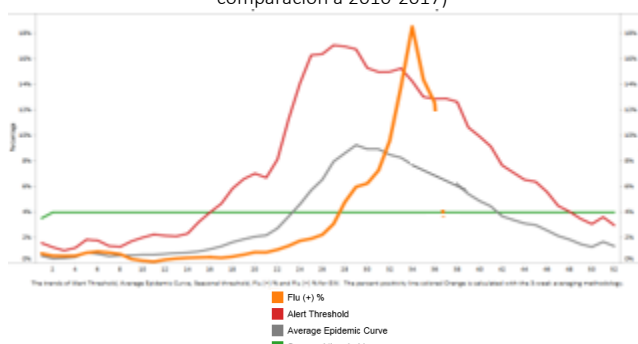
Fuente: Elaboración propia del Área de Vigilancia de la Salud de la Dirección de Epidemiología en base a información proveniente del Sistema Nacional de Vigilancia de la Salud (SNVS) C2.

Graph 3. Argentina. Influenza virus distribution by EW 36, 2014-18
Distribución de virus influenza por SE 36, 2014-18



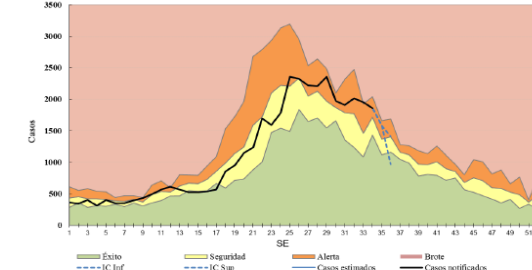
Graph 5. Argentina: Baseline for the percent positivity for influenza, EW 36, 2018 (in comparison to 2010-2017)

Línea basal para el porcentaje de positividad de influenza, SE 36, 2018 (en comparación a 2010-2017)



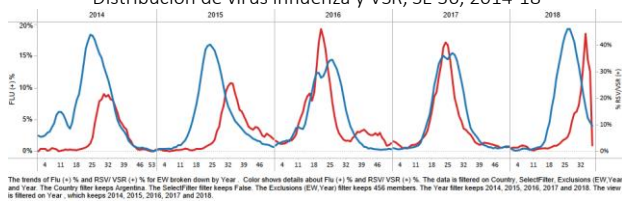
Graph 2. Argentina. SARI cases. Endemic channel, EW 34, 2018 (compared to 2013-2017) / Casos de IRAG. Corredor endémico, SE 34, 2018 (en comparación a 2013-2017)

Gráfico 2. Argentina: Corredor endémico semanal de IRAG. Curva de 2018 hasta SE37. Históricos 5 años: 2013 a 2017.



Fuente: Elaboración propia del Área de Vigilancia de la Salud de la Dirección de Epidemiología en base a información proveniente del Sistema Nacional de Vigilancia de la Salud (SNVS) C2.

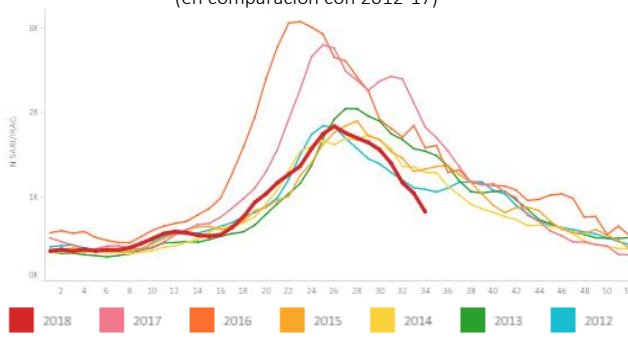
Graph 4. Argentina: Influenza and RSV distribution, EW 36, 2014-18
Distribución de virus influenza y VSR, SE 36, 2014-18



The trends of Flu (+) % and RSV/VSR (+) % for EW broken down by Year. Color shows details about Flu (+) % and RSV/VSR (+) %. The data is filtered on Country, SelectorFilter, Exclusions (EW, Year) and Year. The County keeps 2014, 2015, 2016, 2017 and 2018. The SelectorFilter keeps False. The Exclusions (EW, Year) filter keeps 405 members. The Year filter keeps 2014, 2015, 2016, 2017 and 2018. The Year is filtered on year, which keeps 2014, 2015, 2016, 2017 and 2018.

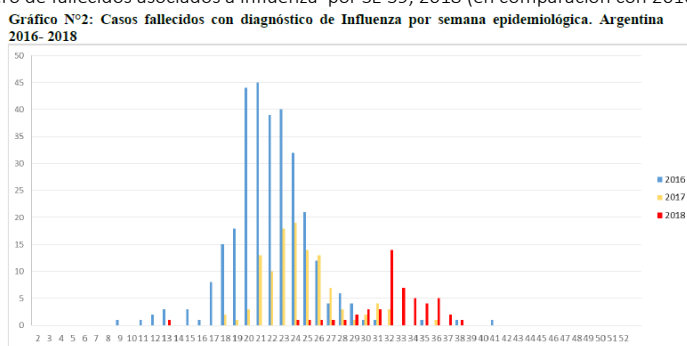
Graph 6. Argentina: Number of SARI cases out of all hospitalizations, by EW 34, 2018 (in comparison with 2012-17)

Número de casos IRAG de todas las hospitalizaciones, por SE 34, 2018 (en comparación con 2012-17)



Graph 7. Argentina: Number of influenza-associated deaths by EW39, 2018 (in comparison with 2016-17) /

Número de fallecidos asociados a influenza por SE 39, 2018 (en comparación con 2016-2017)

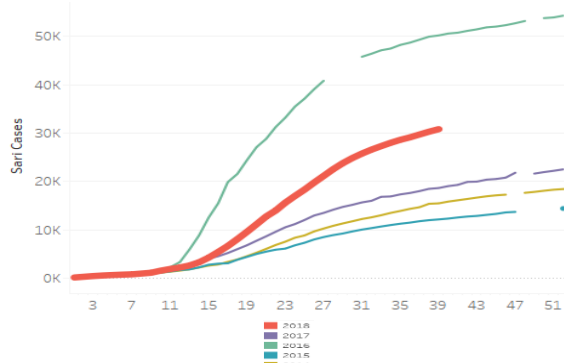


Fuente: SNVS y Direcciones de epidemiología provinciales.

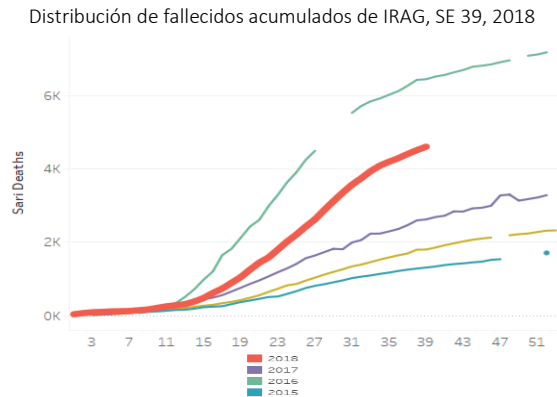
Brazil

- In Brazil, during EW 39, cumulative SARI hospitalizations and deaths increased and were lower than in 2016 but higher than the other seasons for the same period (Graphs 1,2). During EW 39, the SARI case counts out of all hospitalizations were lower than in previous weeks and the 2015-2017 seasons (Graph 10). The cumulative number of SARI-influenza cases and SARI-influenza deaths were higher than the counts reported in 2017 and less than in 2016 (Graph 3, 4). During EW 39, a slight increase in the detection of influenza positive cases was reported by the three NICs, with influenza A (H1N1)pdm09 and (H3N2) co-circulating, and some influenza B detections reported; RSV detections have been increasing in recent weeks (Graph 5-9). During EW 39, 11 states reported higher cumulative influenza-associated SARI/ILI case counts than the historic average 2014-2017 (>1 standard deviation above): Alagoas, Bahia, Ceará, Goiás, Maranhao, Paraíba, Pernambuco, Piauí, Rio Grande do Norte, Sergipe and Tocantins. In EW 39, 10 states reported higher cumulative influenza-associated SARI/ILI deaths counts than the historic average 2014-2017 (>1 standard deviation above): Bahia, Ceará, Goiás, Maranhao, Paraíba, Pernambuco, Piauí, Rio Grande do Norte, Sergipe and Tocantins. / En Brasil, en la SE 39, las hospitalizaciones y los casos fallecidos por IRAG acumulados aumentaron y fueron menores que en 2016 pero superiores a las restantes temporadas para el mismo período (Gráficos 1, 2). Durante la SE 39, el recuento de casos de IRAG sobre el total de hospitalizaciones fue menor que las semanas previas y las temporadas 2015-2017 para el mismo período (Gráfico 10). El número acumulado de casos de IRAG por influenza y de casos fallecidos asociados a influenza fueron superiores a los recuentos de 2017 y menores a los recuentos reportados en 2016 (Gráficos 3, 4). En la semana 39, se ha detectado un ligero aumento entre los casos positivos de influenza reportados por los tres NICs, con co-circulación de influenza A(H1N1)pdm09 y A(H3N2), junto con algunas detecciones de B; las detecciones de VSR aumentaron en las últimas semanas (Gráficos 5-9). Durante la SE 39, 11 estados reportaron elevados recuentos acumulados de IRAG/ETI asociados a influenza en comparación al promedio histórico 2014-2017 (>1 desviación estándar arriba): Alagoas, Bahía, Ceará, Goiás, Maranhao, Paraíba, Pernambuco, Piauí, Rio Grande do Norte, Sergipe y Tocantins. En la SE 39, 10 estados reportaron elevados recuentos acumulados de fallecidos por IRAG/ETI asociados a influenza en comparación al promedio histórico 2014-2017 (>1 desviación estándar arriba): Bahía, Ceará, Goiás, Maranhao, Paraíba, Pernambuco, Piauí, Rio Grande do Norte, Sergipe y Tocantins.

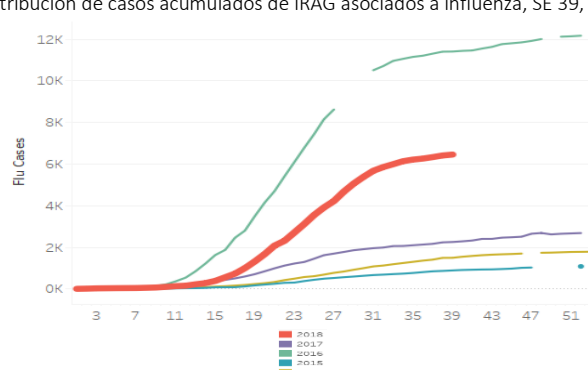
Graph 1. Brazil. Distribution of cumulative SARI-related cases, by EW 39, 2018
Distribución de casos acumulados de IRAG, SE 39, 2018



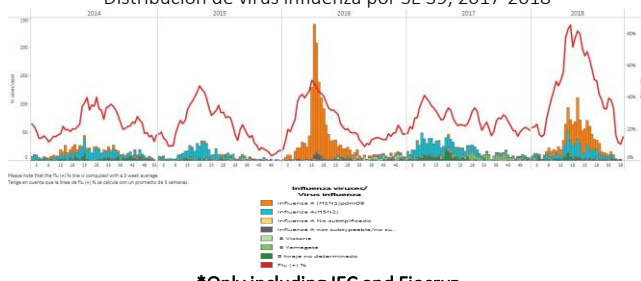
Graph 2. Brazil. Distribution of cumulative SARI-related deaths, by EW 39, 2018
Distribución de fallecidos acumulados de IRAG, SE 39, 2018



Graph 3. Brazil. Distribution of cumulative influenza-associated SARI-related cases, by EW 39, 2018
Distribución de casos acumulados de IRAG asociados a influenza, SE 39, 2018

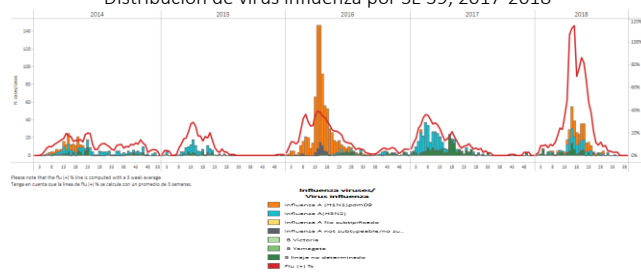


Graph 5. Brazil- All NICs. Influenza virus distribution by EW 39, 2017-2018
Distribución de virus influenza por SE 39, 2017-2018

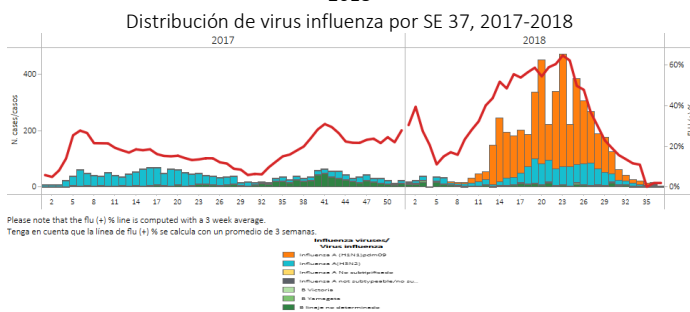


*Only including IEC and Fiocruz

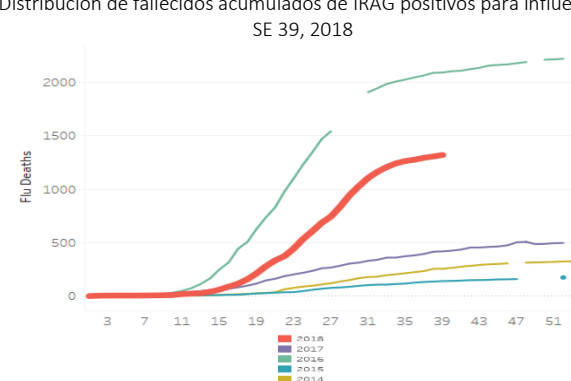
Graph 7. Brazil - NIC IEC. Influenza virus distribution by EW 39, 2017-2018
Distribución de virus influenza por SE 39, 2017-2018



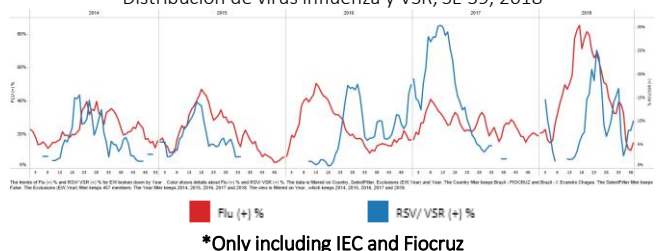
Graph 9. Brazil- NIC Adolfo Lutz. Influenza virus distribution by EW 37, 2017-2018
Distribución de virus influenza por SE 37, 2017-2018



Graph 4. Brazil. Distribution of cumulative influenza-positive SARI-related deaths , by EW 39, 2018
Distribución de fallecidos acumulados de IRAG positivos para influenza, SE 39, 2018

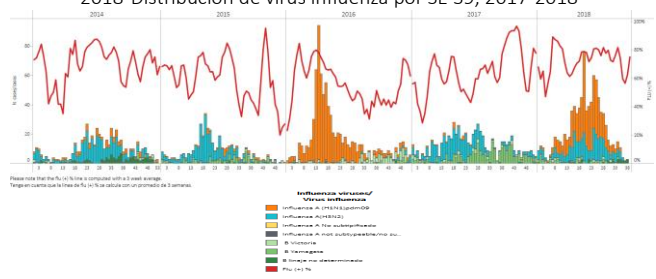


Graph 6. Brazil – All NICs: Influenza and RSV distribution, EW 39, 2018
Distribución de virus influenza y VSR, SE 39, 2018

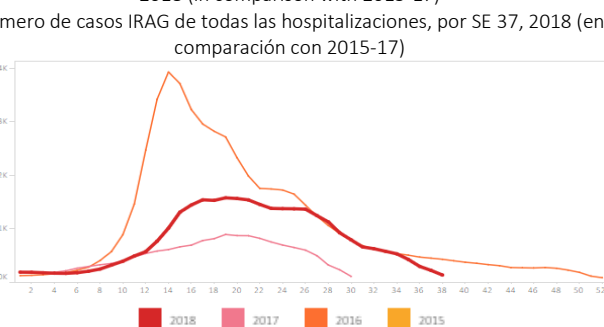


*Only including IEC and Fiocruz

Graph 8. Brazil- NIC FIOCRUZ. Influenza virus distribution by EW 39, 2017-2018 Distribución de virus influenza por SE 39, 2017-2018



Graph 10. Brazil: Number of SARI cases out of all hospitalizations, by EW 37, 2018 (in comparison with 2015-17)
Número de casos IRAG de todas las hospitalizaciones, por SE 37, 2018 (en comparación con 2015-17)



Graph 11. Brazil: Cumulative count of influenza-associated SARI cases greater than historic average, EW 39 (2014-2018)

Cuenta acumulados de casos de IRAG asociados a influenza mayor del promedio histórico, SE 39 (2014-2018)



Graph 12. Brazil: Cumulative count of influenza-associated SARI deaths greater than historic average, EW 39 (2014-2018)

Cuenta acumulados de fallecidos de IRAG asociados a influenza mayor al promedio histórico, SE 39 (2014-2018)

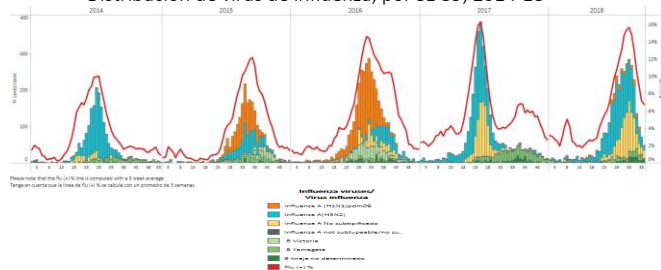


Chile

- During EW 39, at national level, the SARI cases slightly decreased as compared to the previous weeks and remained above the alert threshold levels observed during 2015-2017 for the same period (Graph 4); while ILI activity increased below the average epidemic curve (Graph 5). In EW 39, influenza activity slightly decreased and remained above the historic average, with influenza A(H3N2) predominating (Graphs 1,3). RSV percent positivity slightly decreased and was similar to the levels reported in 2017 for the same period (Graph 2). / Durante la SE 39, a nivel nacional, los casos de IRAG disminuyeron ligeramente en relación a las semanas previas y permanecieron sobre los niveles del umbral de alerta observados durante 2015-2017 para el mismo período (Gráfico 4), mientras que la actividad de ETI aumentó por debajo de la curva epidémica promedio (Gráfico 5). En la SE 39, la actividad de influenza disminuyó ligeramente y permaneció sobre al promedio histórico, con predominio de influenza A(H3N2) (Gráficos 1, 3). El porcentaje de positividad de VSR disminuyó y fue similar a los niveles reportados en 2017 para el mismo período (Gráfico 2).

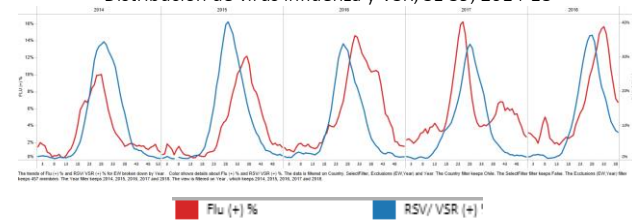
Graph 1. Chile: Influenza virus distribution by EW 39, 2014-18

Distribución de virus de influenza, por SE 39, 2014-18



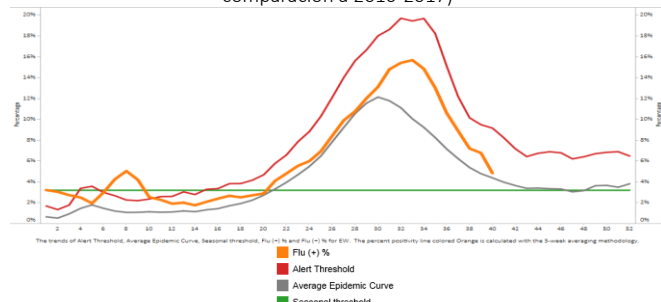
Graph 2. Chile: Influenza and RSV distribution, EW 39, 2014-18

Distribución de virus influenza y VSR, SE 39, 2014-18

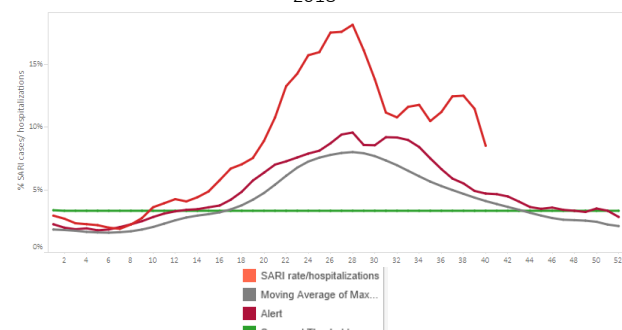


Graph 3. Chile: Baseline for the percent positivity for influenza, EW 39, 2018 (in comparison to 2010-2017)

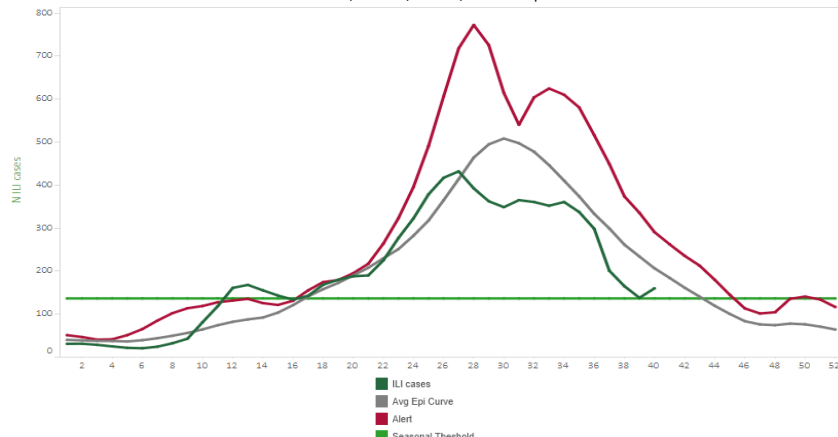
Línea basal para el porcentaje de positividad de influenza, SE 39, 2018 (en comparación a 2010-2017)



Graph 4. Chile. Percent of SARI cases from all hospitalizations, EW 39, 2015-2018, Porcentaje de casos IRAG por las hospitalizaciones totales, SE 39, 2015-2018



Graph 5. Chile. Number of ILI cases, EW 39, 2018, in comparison 2015-17
Número de casos ETI, SE 39, 2018, en comparación 2015-17

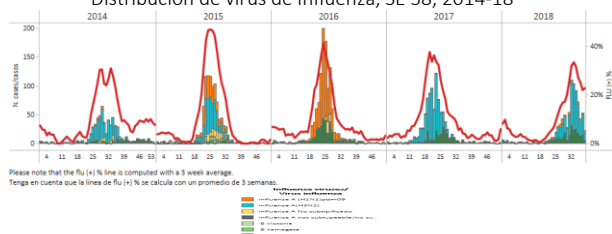


*To view more epi data, view [here](#). / Para ver mas datos epi, vea [aquí](#).

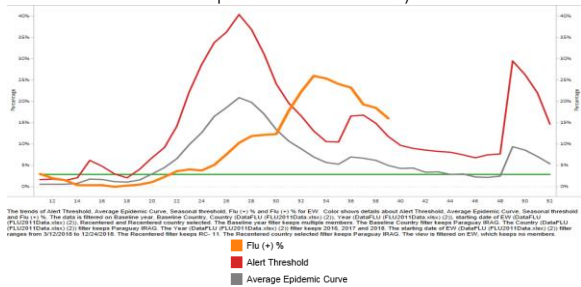
Paraguay

- During EW 39, at national level, the SARI cases slightly decreased from the previous weeks and were above the alert threshold as compared to the previous seasons (Graph 5), with a predominance among the under 5 and above 60 years of age population. In EW 39, the percent of SARI deaths out of total deaths decreased (Graph 6) with 70% of associated comorbidities and among the 60 years of age and older. A total of 33 influenza-associated SARI deaths were reported during 2018, lower than the levels observed in the previous season for the same period (34 cases). ILI activity slightly increased above the seasonal levels and peaked later than in previous seasons (Graph 4). In EW 38, influenza activity slightly decreased from previous weeks with influenza A(H3N2), A(H1N1)pdm09 and B co-circulating (Graphs 1, 3); while RSV positivity decreased in recent weeks (Graph 2). / Durante la SE 39, a nivel nacional, los casos de IRAG disminuyeron ligeramente con respecto a las semanas previas y estuvieron por encima del umbral de alerta en comparación con las temporadas anteriores (Gráfico 5), con predominio entre la población menor de 5 años y mayor de 60 años. En la SE 39, el porcentaje de muertes por IRAG del total de muertes disminuyó (Gráfico 6) con 70% de comorbilidades asociadas y entre los mayores de 60 años. Durante 2018 se informó un total de 33 muertes por IRAG asociadas a influenza, inferiores a los niveles observados en la temporada anterior para el mismo período (34 casos). La actividad de ETI aumentó ligeramente por encima de los niveles estacionales y alcanzó su punto máximo más tarde que en temporadas anteriores (Gráfico 4). En la SE 38, la actividad de influenza disminuyó ligeramente con respecto a las semanas previas con influenza A(H3N2), A(H1N1)pdm09 y B co-circulando (Gráficos 1, 3); mientras que la positividad de VSR disminuyó en las últimas semanas (Gráfico 2).

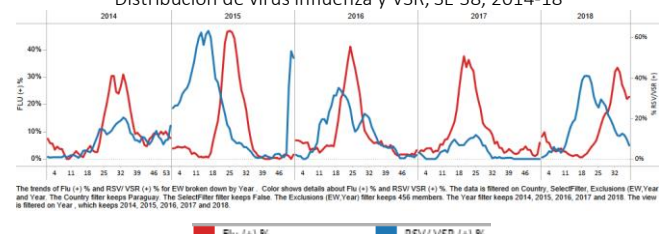
Graph 1. Paraguay: Influenza virus distribution EW 38, 2014-18
Distribución de virus de influenza, SE 38, 2014-18



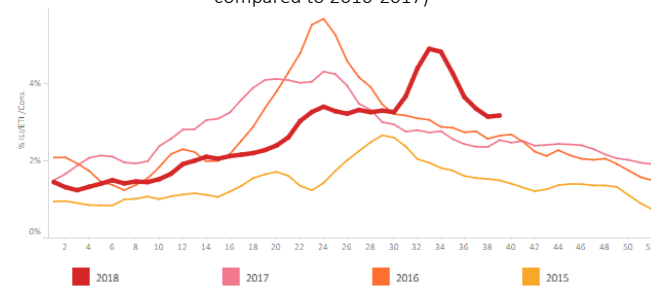
Graph 3. Paraguay SARI sentinel sites: Baseline for the percent positivity for influenza, EW 39, 2018 (in comparison to 2010-2017)
Línea basal para el porcentaje de positividad de influenza, SE 39, 2018 (en comparación a 2010-2017)



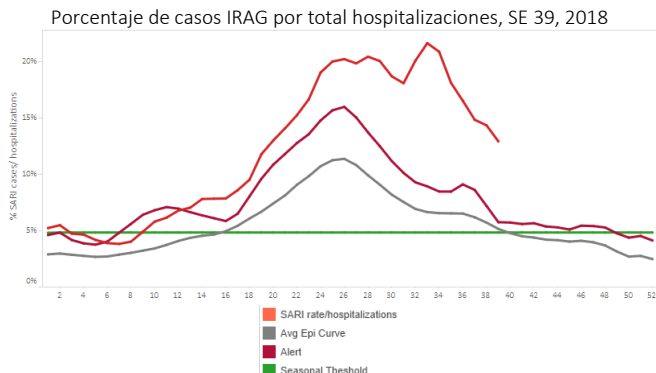
Graph 2. Paraguay: Influenza and RSV distribution, EW 38, 2014-18
Distribución de virus influenza y VSR, SE 38, 2014-18



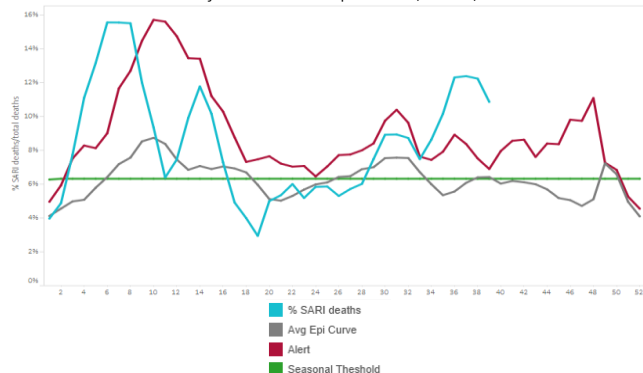
Graph 4. Paraguay: Proportion of ILI consultations, EW 39, 2018 (as compared to 2016-2017)



Graph 5. Paraguay: Percent of SARI cases per total hospitalizations, EW 39, 2018
Porcentaje de casos IRAG por total hospitalizaciones, SE 39, 2018



Graph 6. Paraguay: Percent of SARI deaths per total deaths, EW 39, 2018.
Porcentaje de fallecidos por IRAG, SE 39, 2018

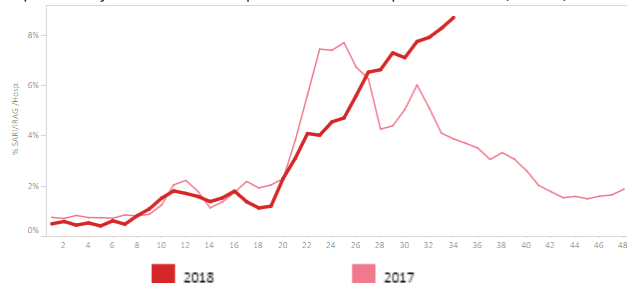


*To view more epi data, view [here](#). / Para ver mas datos epi, vea [aquí](#).

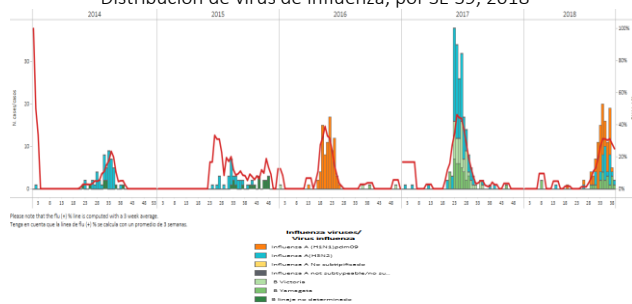
Uruguay

- In EW 39, decreased influenza activity was reported (Graphs 3, 4); with decreased RSV positivity (Graph 2). During EW 39, the percentage of SARI cases among all hospitalizations increased, and peaked later than during the 2016 season (Graph 1). / Durante la SE 39, se reportó menor actividad de influenza (Gráficos 3, 4); con positividad de VSR disminuida (Gráfico 2). Durante la SE 39, el porcentaje de casos de IRAG del total de hospitalizaciones aumentó, y presentó un pico tardío en relación a la temporada 2016 (Gráfico 1).

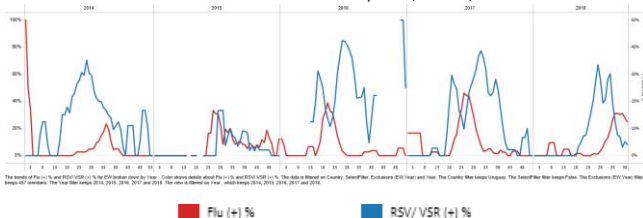
Graph 1. Uruguay: % SARI cases among all hospitalizations, EW 39, 2018; porcentaje de casos IRAG por todas las hospitalizaciones, SE 39, 2018



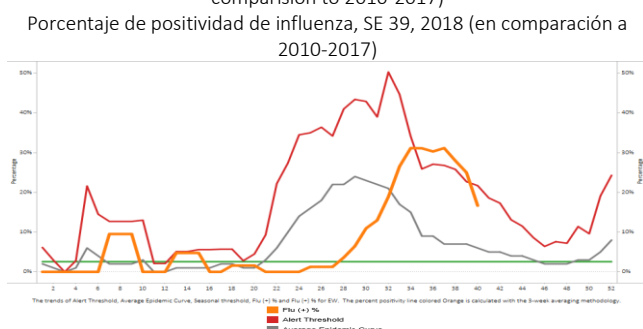
Graph 3. Uruguay: Influenza virus distribution by EW 39, 2018
Distribución de virus de influenza, por SE 39, 2018



Graph 2. Uruguay: Influenza and RSV distribution, EW 39, 2014-18
Distribución de virus influenza y VSR, SE 39, 2014-18



Graph 4. Uruguay: Percent positivity for influenza, EW 39, 2018 (in comparision to 2010-2017)
Porcentaje de positividad de influenza, SE 39, 2018 (en comparación a 2010-2017)



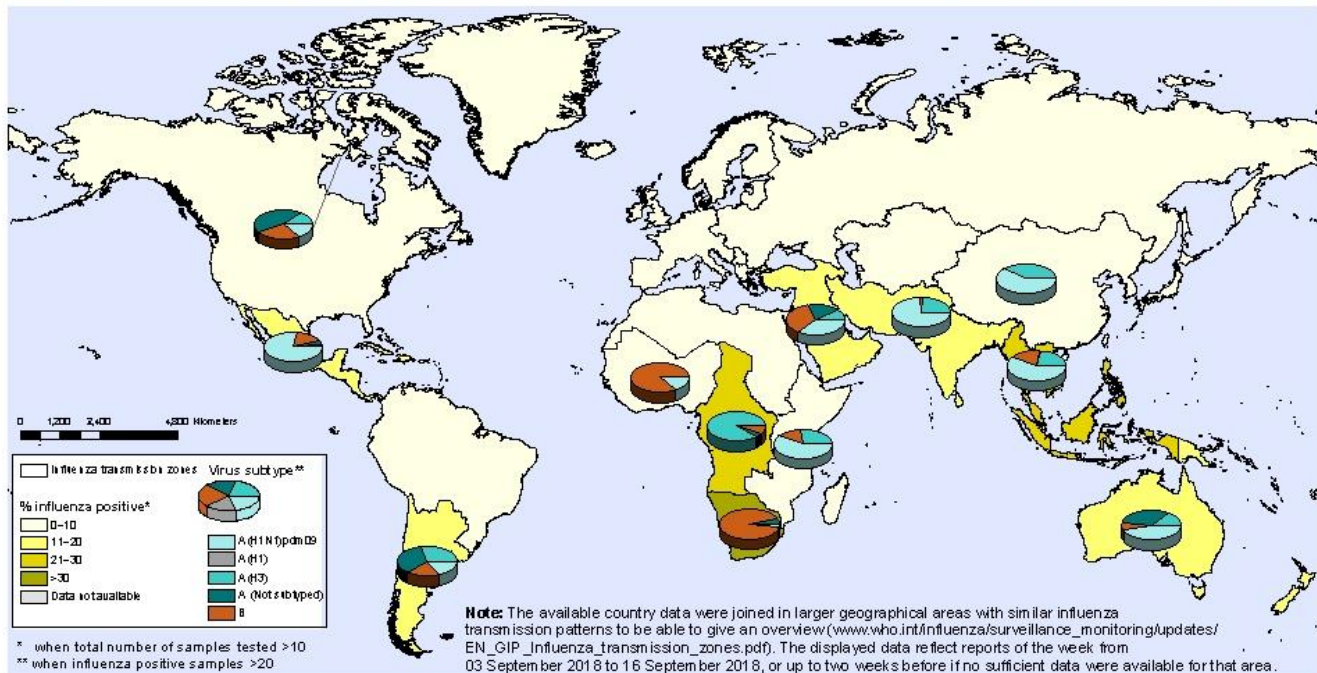
*To view more epi data, view [here](#). / Para ver mas datos epi, vea [aquí](#).

In the temperate zones of the southern hemisphere, influenza activity appeared to decrease in South America and Southern Africa. Influenza activity remained at low seasonal levels in Australia and New Zealand and at inter-seasonal levels in most of temperate zone of the northern hemisphere. Increased influenza detections were reported in some countries of Southern and South-East Asia. Worldwide, seasonal influenza subtype A viruses accounted for the majority of detections. / En las zonas templadas del hemisferio sur, la actividad de influenza pareció disminuir en Sudamérica y el sur de África. La actividad de la influenza se mantuvo en niveles estacionales bajos en Australia y Nueva Zelanda y en niveles interestacionales en la mayoría de las zonas templadas del hemisferio norte. Se informaron más detecciones de influenza en algunos países del sur y sudeste de Asia. En todo el mundo, los virus del subtipo A de influenza estacional representaron la mayoría de las detecciones.

National Influenza Centres (NICs) and other national influenza laboratories from 85 countries, areas or territories reported data to FluNet for the time period from 3 September to 16 September 2018. The WHO GISRS laboratories tested more than 68731 specimens during that time period. 2512 were positive for influenza viruses, of which 2120 (84.4%) were typed as influenza A and 392 (15.6%) as influenza B. Of the sub-typed influenza A viruses, 1104 (65.3%) were influenza A(H1N1)pdm09 and 586 (34.7%) were influenza A(H3N2). Of the characterized B viruses, 54 (55.1%) belonged to the B-Yamagata lineage and 44 (44.9%) to the B-Victoria lineage. / Los Centros Nacionales de Influenza (NICs) y otros laboratorios nacionales de influenza de 85 países, áreas o territorios, reportaron datos a FluNet en el período del 3 de septiembre al 16 de septiembre de 2018. Los laboratorios de la OMS GISRS realizaron pruebas a más de 68731 muestras durante ese período. 2512 tuvieron resultado positivo para virus influenza, de los cuales 2120 (84,4%) fueron tipificados como influenza A y 392 (15,6%) como influenza B. De los virus influenza A subtipificados, 1104 (65,3%) fueron influenza A(H1N1)pdm09 y 586 (34,7%) fueron influenza A(H3N2). De los virus influenza B caracterizados, 54 (55,1%) fueron del linaje B-Yamagata y 44 (44,9%) fueron del linaje B-Victoria.

Percentage of respiratory specimens that tested positive for influenza By influenza transmission zone

Status as of 28 September 2018



The boundaries and names shown and the designations used on this map do not imply the expression of any opinion whatsoever on the part of the World Health Organization concerning the legal status of any country, territory, city or area or of its authorities, or concerning the delimitation of its frontiers or boundaries. Dotted and dashed lines on maps represent approximate border lines for which there may not yet be full agreement.

Data Source:
 Global Influenza Surveillance and Response System (GISRS),
 FluNet (www.who.int/FluNet)



©WHO 2018. All rights reserved.

ACRONYMS

ARI	Acute Respiratory Infection
CARPHA	Caribbean Public Health Agency
CENETROP	Centro de Enfermedades Tropicales (Santa Cruz, Bolivia)
EW	Epidemiological Week
ILI	Influenza-like illness
INLASA	Instituto Nacional de Laboratorios de Salud (La Paz, Bolivia)
INS	Instituto Nacional de Salud
ORV	Other respiratory viruses
SARI	Severe acute respiratory infection
SEDES	Servicio Departamental de Salud (Bolivia)
ICU	Intensive Care Unit
RSV	Respiratory Syncytial Virus

ACRÓNIMOS

CARPHA	Agencia de Salud Pública del Caribe/Caribbean Public Health Agency
CENETROP	Centro de Enfermedades Tropicales (Santa Cruz, Bolivia)
ETI	Enfermedad Tipo influenza
INLASA	Instituto Nacional de Laboratorios de Salud (La Paz, Bolivia)
INS	Instituto Nacional de Salud
IRA	Infección Respiratoria Aguda
IRAG	Infección Respiratoria Aguda grave
OVR	Otros virus respiratorios
SE	Semana epidemiológica
SEDES	Servicio Departamental de Salud (Bolivia)
UCI	Unidad de Cuidados Intensivos
VSR	Virus Sincitial Respiratorio